

Robot. ~~előzet~~ magas

ROBOTIRÁNYÍTÁS ALAPISMERETEK

1.1. A robot mint irányítandó folyamat.

Előzet magas

- Pont-pont irányítás: pályán nincs elhárva
- Folytonos pályairányítás

6DOF robot mechan. tulajdonságai

- 6 motor rpm/áram szab.: beállítás, tartás
- Csak két egyenestől függő koordináta-rendszer, mozgás
- Előzet pályát tartásos háló

Robot generációk

1. Pályaleírás program mint. vezérlési egy. mag. stb.
2. Környezeti adat monitorozás érzékelés és az befolyásolása is a viselkedésüket, pl. akadálykerülés
3. Mesterséges intelligencia, jó alkalmazkodás, hangvezetés stb.

1.2 Egy kis fejnépáncs

szöveg, pipeline, lebegőpontos egyenlet befolyásolja a sebességet.

1.3 A robot geometriája - direkt geometriai feladat

1.3.1 Lineáris transzformációk

$$\underline{A} = [\underline{a}_x]$$

$$\underline{a}_x \underline{i} = \begin{bmatrix} i & j & k \\ a_x & a_y & a_z \\ 1 & 0 & 0 \end{bmatrix} = \begin{bmatrix} 0 \\ a_z \\ -a_y \end{bmatrix}; \underline{a}_x \underline{j} = \begin{bmatrix} -a_z \\ 0 \\ a_x \end{bmatrix}; \underline{a}_x \underline{k} = \begin{bmatrix} a_y \\ -a_x \\ 0 \end{bmatrix}$$

$$\underline{A} = \begin{bmatrix} 0 & -a_z & a_y \\ a_z & 0 & -a_x \\ -a_y & a_x & 0 \end{bmatrix}$$

$$\underline{a} \langle \underline{b}, \underline{i} \rangle = \underline{a} b_x$$

$$\underline{a} \langle \underline{b}, \underline{j} \rangle = \underline{a} b_y$$

$$\underline{a} \langle \underline{b}, \underline{k} \rangle = \underline{a} b_z$$

$$\underline{A} = \underline{t} \langle \underline{t}, \cdot \rangle \quad (\underline{t} \text{ egységvektor})$$

$$\underline{A} = \underline{a} \langle \underline{b}, \cdot \rangle = [\underline{a} \quad \underline{0} \quad \underline{b}]$$

$$\underline{A} = \begin{bmatrix} a_x b_x & a_x b_y & a_x b_z \\ a_y b_x & a_y b_y & a_y b_z \\ a_z b_x & a_z b_y & a_z b_z \end{bmatrix}$$

Robot. ~~előzet~~ megbesz.

1. ROBOTIRÁNYÍTÁS ALAPISMERETEK

1.1. A robot mint irányítandó folyamat.

Előzet megbesz.

- Pont-pont irányítás: pályán nincs akadály
- Folytonos pályairányítás

6DOF robot robottech. tulajdonságai

- 6 motor rpm/áram szab.: beállítás, tartás
- Coulter egységgel függő koordinátafej, mozgás
- Előzet pályát tartásos hüll

Robot generációk

1. Pályaleíró program mint. vezérlő egység meg. ká
2. Környezeti adat monitorozással érzékelés és az befolyásolása is a viselkedéssel, pl. akadálykerülés
3. Mesterséges intelligencia, jó alkalmazkodás, hangvezetés stb.

1.2 Egy hálójármű működés

Erőforrás, pipeline, lebegőpontos egység befolyásolja a sebességet.

1.3 A robot geometriája - direkt geometriai feladat

1.3.1 Lineáris transzformációk

$$\underline{A} = [\underline{a}_x] \quad \underline{a}_x \underline{i} = \begin{bmatrix} i & j & k \\ a_x & a_y & a_z \\ 1 & 0 & 0 \end{bmatrix} = \begin{bmatrix} 0 \\ a_z \\ -a_y \end{bmatrix}; \underline{a}_x \underline{j} = \begin{bmatrix} -a_z \\ 0 \\ a_x \end{bmatrix}; \underline{a}_x \underline{k} = \begin{bmatrix} a_y \\ -a_x \\ 0 \end{bmatrix}$$

$$\underline{A} = \begin{bmatrix} 0 & -a_z & a_y \\ a_z & 0 & -a_x \\ -a_y & a_x & 0 \end{bmatrix}$$

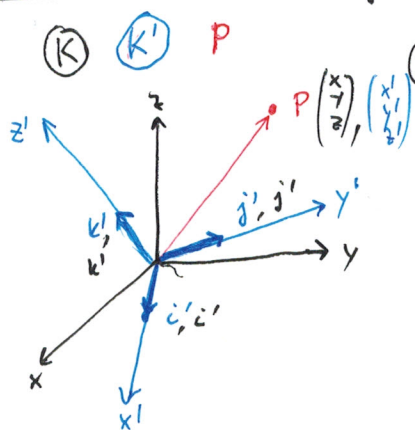
$$\begin{aligned} \underline{a} \langle \underline{b}, \underline{i} \rangle &= \underline{a} b_x \\ \underline{a} \langle \underline{b}, \underline{j} \rangle &= \underline{a} b_y \\ \underline{a} \langle \underline{b}, \underline{k} \rangle &= \underline{a} b_z \end{aligned}$$

$$\underline{A} = \underline{t} \langle \underline{t}, \cdot \rangle \quad (\underline{t} \text{ egységv.})$$

$$\underline{A} = \underline{a} \langle \underline{b}, \cdot \rangle = [\underline{a} \quad \underline{0} \quad \underline{b}]$$

$$\underline{A} = \begin{bmatrix} a_x b_x & a_x b_y & a_x b_z \\ a_y b_x & a_y b_y & a_y b_z \\ a_z b_x & a_z b_y & a_z b_z \end{bmatrix}$$

1.3.2. Koordináta-transzformáció



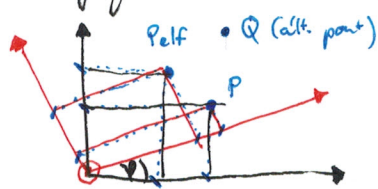
$$\begin{matrix} \mathbb{R}^3 & \xrightarrow{I} & \mathbb{R}^3 \\ \begin{bmatrix} i' \\ j' \\ k' \end{bmatrix} & \xrightarrow{A} & \begin{bmatrix} i \\ j \\ k \end{bmatrix} \\ \mathbb{R}^3 & & \mathbb{R}^3 \end{matrix}$$

$$\begin{aligned} I(i') &= i' \\ I(j') &= j' \\ I(k') &= k' \\ A &= [i' \ j' \ k'] \end{aligned}$$

A : K' orientációja az álló K -hoz képest.
 és ugyanígy az álló P pont koordinátáival kapcsolat is megoldja.

$$\begin{bmatrix} x \\ y \\ z \end{bmatrix} = A \begin{bmatrix} x' \\ y' \\ z' \end{bmatrix}$$

pl. forgatás z tengely körül φ szöggel



úgy is φ szöggel

$$\begin{matrix} \mathbb{R}^3 & \xrightarrow{\text{Rot}_\varphi^z} & \mathbb{R}^3 \\ \begin{bmatrix} i \\ j \\ k \end{bmatrix} & \xrightarrow{R_\varphi^z} & \begin{bmatrix} i' \\ j' \\ k' \end{bmatrix} \\ \mathbb{R}^3 & & \mathbb{R}^3 \end{matrix}$$

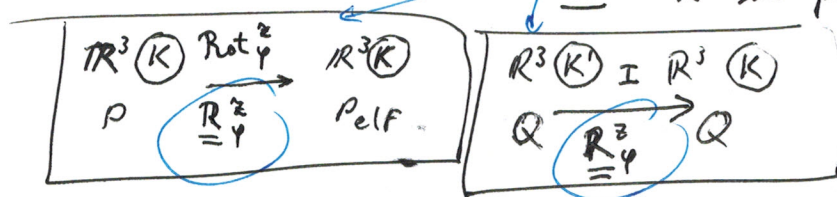
$$\begin{bmatrix} x_{\text{rot}} \\ y_{\text{rot}} \\ z_{\text{rot}} \end{bmatrix} = R_\varphi^z \begin{bmatrix} x \\ y \\ z \end{bmatrix}$$

$$\begin{bmatrix} x_{\text{rot}} \\ y_{\text{rot}} \\ z_{\text{rot}} \end{bmatrix} = \begin{bmatrix} x \\ y \\ z \end{bmatrix}$$

$$\begin{bmatrix} x_{\text{rot}} \\ y_{\text{rot}} \\ z_{\text{rot}} \end{bmatrix} = R_\varphi^z \begin{bmatrix} x_{\text{rot}} \\ y_{\text{rot}} \\ z_{\text{rot}} \end{bmatrix}$$

R_φ^z : K -ban megoldja K' orientációját K -hoz képest, ill. adott pontot ezen orientáció szerint transzformál

és: K' -beni pont leírását megoldja K -ban.



$$R_\varphi^z = \begin{bmatrix} 1 & & \\ & c_\varphi & -s_\varphi \\ & s_\varphi & c_\varphi \end{bmatrix}$$

$$R_\varphi^y = \begin{bmatrix} c_\varphi & s_\varphi \\ & 1 & \\ -s_\varphi & c_\varphi \end{bmatrix} \quad R_\varphi^x = \begin{bmatrix} c_\varphi & -s_\varphi \\ s_\varphi & c_\varphi \\ & & 1 \end{bmatrix}$$

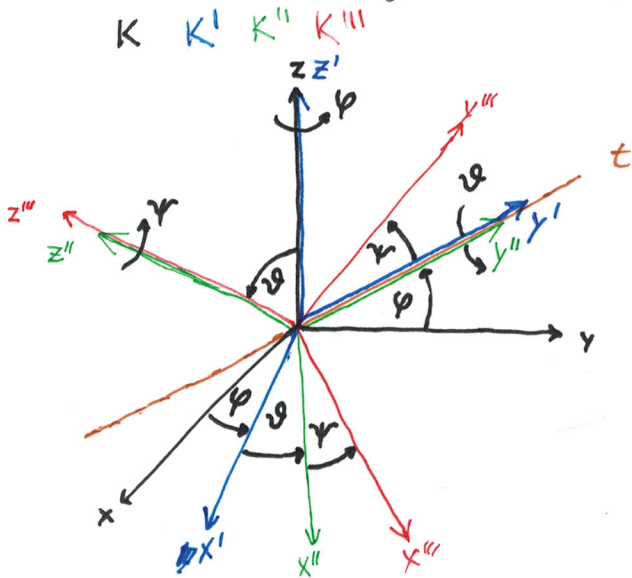
1.3.3 Rodrigues - képlet

t egységvektor ($|t|=1$) mentén forgatás

$$R_{\varphi}^t = C_{\varphi} \cdot \underline{I} + (1 - C_{\varphi}) \cdot [t \ 0 \ t] + S_{\varphi} \cdot [t \times]$$

$$\left(R_{\varphi}^t \right)^{-1} = R_{-\varphi}^t = R_{\varphi}^{-t} = \left(R_{\varphi}^t \right)^T$$

1.3.4 Az orientáció jellemzés Euler - módszerrel



1. $t = [x, y] \cap [x''', y''']$

(xy síkhoz metrikávanál K és K'''-ban)

2. K': K-hoz képest z tengely körül φ-vel úgy, hogy y' és t egybeessen (t per oldj benne van xy-ban)

3. K'': K'-hez képest y' körül γ szöggel úgy, hogy z'' és z''' egybeessen (z' = z ⊥ t és z'' = z''' ⊥ t ∴ lehetséges)

4. K''': K''-hez képest z'' körül elforgatva γ-vel úgy, hogy y'' és y''' egybeessen (t ∈ [x''', y'''] és erre merőleges z'' = z''')

$$\begin{bmatrix} x'' \\ y'' \\ z'' \end{bmatrix} = \text{Rot}(z'', \gamma) \begin{bmatrix} x''' \\ y''' \\ z''' \end{bmatrix}$$

$$\begin{bmatrix} x' \\ y' \\ z' \end{bmatrix} = \text{Rot}(y', \psi) \begin{bmatrix} x'' \\ y'' \\ z'' \end{bmatrix}$$

$$\begin{bmatrix} x \\ y \\ z \end{bmatrix} = \text{Rot}(z, \varphi) \begin{bmatrix} x' \\ y' \\ z' \end{bmatrix}$$

$$\begin{bmatrix} x \\ y \\ z \end{bmatrix} = \text{Rot}(z, \varphi) \text{Rot}(y', \psi) \text{Rot}(z'', \gamma) \begin{bmatrix} x''' \\ y''' \\ z''' \end{bmatrix}$$

$$\begin{bmatrix} x \\ y \\ z \end{bmatrix} = \begin{bmatrix} C_{\varphi} & -S_{\varphi} & \cdot \\ S_{\varphi} & C_{\varphi} & \cdot \\ \cdot & \cdot & 1 \end{bmatrix} \begin{bmatrix} C_{\psi} & \cdot & S_{\psi} \\ \cdot & 1 & \cdot \\ -S_{\psi} & C_{\psi} & \cdot \end{bmatrix} \begin{bmatrix} C_{\gamma} & -S_{\gamma} & \cdot \\ S_{\gamma} & C_{\gamma} & \cdot \\ \cdot & \cdot & 1 \end{bmatrix} \begin{bmatrix} x''' \\ y''' \\ z''' \end{bmatrix}$$

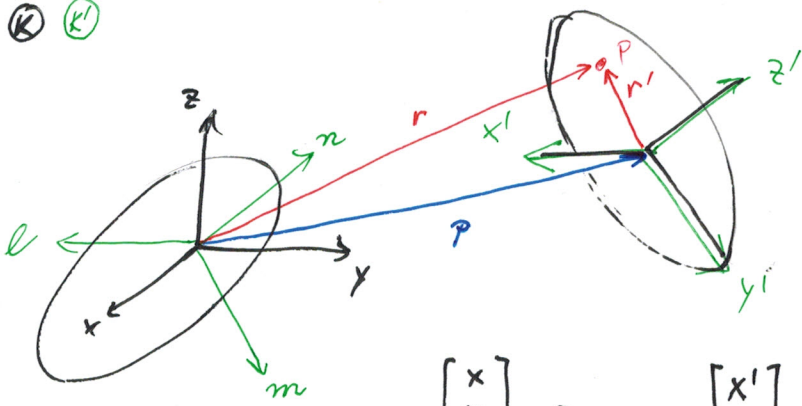
Euler(φ, ψ, γ) → direkt feladat

Inverz feladat: adott mx-ből Euler-mégek

Ha 6-DOF robotban utolsó három negatív Euler-kiszámoló, akkor egyszerűsödik az inverz geometriai feladat (poz + orient.)

1.3.5. Művev testek relatív helyzetének jellemzése homogén koordinátákkal.

Ⓚ Ⓚ'



(l, m, n) pár.
 (x', y', z') vel

$$r = r' + p$$

P pont K bázisban:

$$\begin{bmatrix} x \\ y \\ z \end{bmatrix} = \begin{bmatrix} l & m & n \end{bmatrix} \begin{bmatrix} x' \\ y' \\ z' \end{bmatrix} + p = x'l + y'm + z'n + p$$

(l, m, n) K bázisban van plüve természetesen és p is

$$\begin{bmatrix} x \\ y \\ z \\ 1 \end{bmatrix} = \begin{bmatrix} l & m & n & p \\ \cdot & \cdot & \cdot & \cdot \\ \cdot & \cdot & \cdot & \cdot \\ \cdot & \cdot & \cdot & \cdot \\ \cdot & \cdot & \cdot & 1 \end{bmatrix} \begin{bmatrix} x' \\ y' \\ z' \\ 1 \end{bmatrix} = \begin{bmatrix} A & p \\ \underline{0}^T & 1 \end{bmatrix} \begin{bmatrix} x' \\ y' \\ z' \\ 1 \end{bmatrix}$$

Tehát K és K' relatív helyzete leírható a köv. mx-al:

$$\underline{T}_{KK'} = \begin{bmatrix} A & p \\ \underline{0}^T & 1 \end{bmatrix} = \begin{bmatrix} l & m & n & p \\ \cdot & \cdot & \cdot & \cdot \\ \cdot & \cdot & \cdot & \cdot \\ \cdot & \cdot & \cdot & 1 \end{bmatrix}$$

Ez a „homogén koordinátás mátrix” („homogén mátrix”)

És persze a $K \rightarrow K'$ helyzetet leírni megadja a K'-beli pontok K-beli leírását

Azonosságok homogén mx-okkal

$$\begin{bmatrix} A_1 & p_1 \\ \underline{0}^T & 1 \end{bmatrix} \begin{bmatrix} A_2 & p_2 \\ \underline{0}^T & 1 \end{bmatrix} = \begin{bmatrix} A_1 A_2 & A_1 p_2 + p_1 \\ \underline{0}^T & 1 \end{bmatrix}$$

$$\begin{bmatrix} I & p \\ \underline{0}^T & 1 \end{bmatrix} \begin{bmatrix} A & 0 \\ \underline{0}^T & 1 \end{bmatrix} = \begin{bmatrix} A & p \\ \underline{0}^T & 1 \end{bmatrix}$$

$$K \xrightarrow[p]{\text{eltolás}} K' \xrightarrow[A]{\text{forg}} K''$$

$$\begin{bmatrix} A & 0 \\ \underline{0}^T & 1 \end{bmatrix} \begin{bmatrix} I & p \\ \underline{0}^T & 1 \end{bmatrix} = \begin{bmatrix} A & A p \\ \underline{0}^T & 1 \end{bmatrix}$$

$$K \xrightarrow[A]{\text{forg}} K' \xrightarrow[p]{\text{eltolás}} K''$$

$$\begin{bmatrix} A & p \\ \underline{0}^T & 1 \end{bmatrix}^{-1} = \begin{bmatrix} A^{-1} & -A^{-1} p \\ \underline{0}^T & 1 \end{bmatrix}$$

Ha $A = A_1$:: forgatás $A^{-1} = A^T$

Ha $A = A_1 \cdot A_2 \dots$:: forgatások
 $A^{-1} = \dots A_2^{-1} \cdot A_1^{-1} = \dots A_2^T \cdot A_1^T$

1.3.6. Menny, nyílt láncú elágazás nélküli robot irányítása

Robotmennyek: $0..m$

Csuklósajtások: $q_1..q_m$ ($q_i \rightarrow i.$ menny) $T: d, a R: v, \alpha$

K_B : abszolút bázis, világhoordináta K_E : végtagrendszer koordinátarendszere

Tengelyek: $t_0..t_{m-1}$ ($t_i \rightarrow q_{i+1}$ változó)
i. menny)

K_i kezelt helyzeténél képe

Alt $0..3$: "kar"

$4..6$: "csukló"

végtagrendszer: "kegfej"

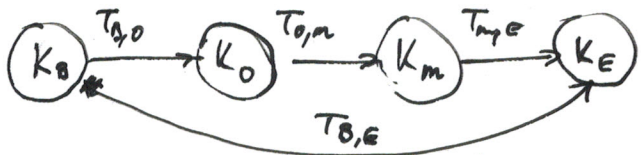
$$\underline{T}_{K_{i-1}, K_i} \triangleq \underline{T}_{i-1, i}$$

Konstanst r-fők,

$$\underline{T}_{B, 0} \quad \underline{T}_{m, E}$$

$$\underline{T}_{0, m} = \underline{T}_{0, 1} \cdot \underline{T}_{1, 2} \cdot \dots \cdot \underline{T}_{m-1, m} = \begin{bmatrix} \underline{A}_{0, m} & \underline{p}_{0, m} \\ \underline{0}^T & 1 \end{bmatrix} = \prod_{i=0}^{m-1} \underline{T}_{i, i+1}$$

$$\underline{T}_{i, i-1} \triangleq \underline{T}_{i-1, i}^{-1}$$



$$\underline{T}_{B, E} = \underline{T}_{B, 0} \cdot \underline{T}_{0, m} \cdot \underline{T}_{m, E}$$

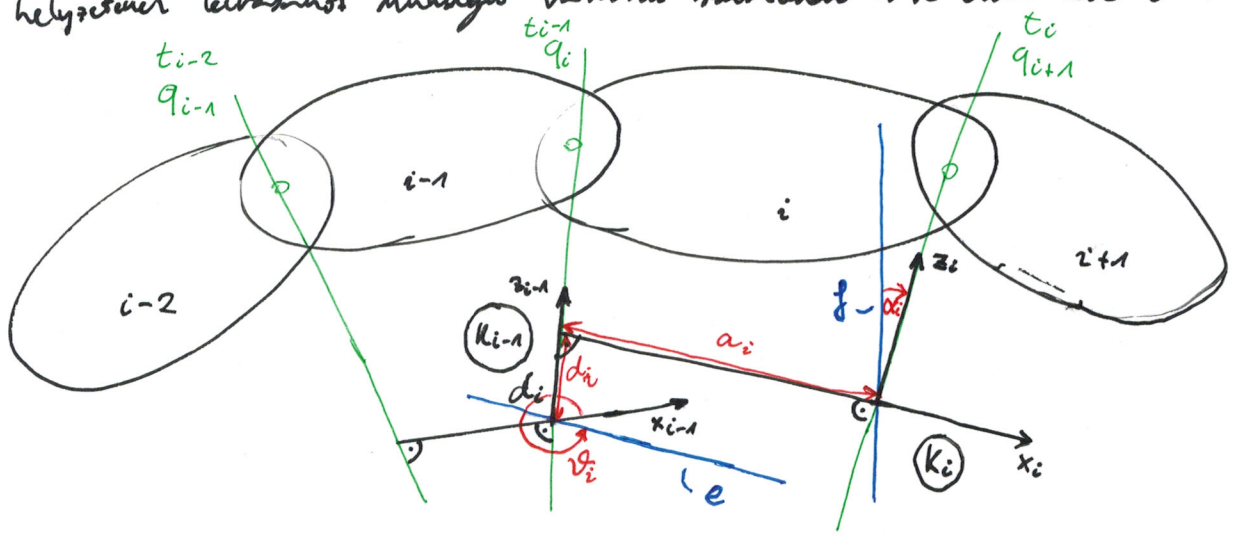
robot transformációs gráf

$$\underline{T}_{0, m} = \underline{T}_{B, 0}^{-1} \cdot \underline{T}_{B, E} \cdot \underline{T}_{m, E}^{-1}$$

Inverz feladatnál: $\underline{T}_{B, 0}$; $\underline{T}_{m, E}$ ismert, $\underline{T}_{B, E}$ előt és a $\underline{T}_{0, m}$ -et előállító q_i -ket keressük $\forall i \in \{1..m\}$.

1.3.7. Robotok leírása Denavit - Hartenberg-alek segítségével

Cél: konvenciók szerintével normált és számozott relatív helyzeténél leírható művelés változóknak mindegyik k-re csökkentése 6-ról



Kikötések:

- Rotációs csukló forgástengelye z -irányú
- Transzlációs csukló elmozdulása z -irányú

Feltételekkel:

- K_{i-1} ismert
- z_{i-1} iránya: $[i-1]$ és $[i]$ közt: t_{i-1} iránya
- K_i keret x_0 tengelye, megfelelő t_{i-1} és t_i tengelyekre
- K_i origója x_i és t_i metszéspontja
- z_i : t_i iránya

DH - paraméterek:

- θ_i : nag, amivel z_{i-1} körül ~~el~~ elforgatva x_{i-1} -ből x_i -t adja, ill. vele párhuzamosot.
- d_i : az előző elforgatás után x_{i-1} ~~el~~ (e) és x_i távolsága.
- a_i : az előző után z_{i-1} és x_i metszéspontjának távolsága K_i origójától (x_i és z_i metszéspontja; távolság/eltolás x_i mentén)
- α_i : nag, amivel x_i körül ~~el~~ elforgatva z_{i-1} -et z_i -vel párhuzamosot kapunk (előző után K_{i-1} K_i -vel egybeesve)

$$\begin{aligned} \underline{T_{i-1,i}} &= \text{Rot}(z, \theta_i) \cdot \text{Trans}(z, d_i) \cdot \text{Trans}(x, a_i) \cdot \text{Rot}(x, \alpha_i) \\ &= \begin{bmatrix} C\theta_i & -S\theta_i & \cdot & \cdot \\ S\theta_i & C\theta_i & \cdot & \cdot \\ \cdot & \cdot & 1 & \cdot \\ \cdot & \cdot & \cdot & 1 \end{bmatrix} \begin{bmatrix} 1 & \cdot & \cdot & \cdot \\ \cdot & 1 & \cdot & \cdot \\ \cdot & \cdot & 1 & d_i \\ \cdot & \cdot & \cdot & 1 \end{bmatrix} \begin{bmatrix} 1 & \cdot & \cdot & a_i \\ \cdot & 1 & \cdot & \cdot \\ \cdot & \cdot & 1 & \cdot \\ \cdot & \cdot & \cdot & 1 \end{bmatrix} \begin{bmatrix} 1 & \cdot & \cdot & \cdot \\ \cdot & C\alpha_i & -S\alpha_i & \cdot \\ \cdot & S\alpha_i & C\alpha_i & \cdot \\ \cdot & \cdot & \cdot & 1 \end{bmatrix} \end{aligned}$$

Spec. esetek

- t_{i-1} és t_i párhuzamos: d_i tetszőlegesen választható x_i -vel
- $[0]$ esetek $z_0 = t_0$ és x_0 tetszőleges asal $z_0 \perp x_0$ legyen.
- $[m]$ esetek z_m tetszőleges és $x_m \perp z_{m-1}$

Pl. Puma -560

i	q_i	ϑ_i	d_i	a_i	κ_i
1	o ϑ_1	ϑ_1	0	0	-90°
2	o ϑ_2	ϑ_2	d_2	a_2	0°
3	o ϑ_3	ϑ_3	0	0	90°
4	o ϑ_4	ϑ_4	d_4	0	-90°
5	o ϑ_5	ϑ_5	0	0	90°
6	o ϑ_6	ϑ_6	0	0	0

o változó
- konstans

Változók teljesén meghatározással α $T_{0,m}$ mx-ot.

Direkt geom feladat:

$$q = \begin{bmatrix} q_1 \\ \vdots \\ q_m \end{bmatrix} \rightarrow T_{0,m} = \begin{bmatrix} A_{0,m} & p_{0,m} \\ 0 & 1 \end{bmatrix}$$

$$T_{0,E} = T_{0,0} T_{0,m} T_{m,E}$$

Inverz geometriai feladat:

$$T_{0,m} = T_{0,0}^{-1} \cdot T_{0,E} \cdot T_{m,E}^{-1}$$

$$T_{0,m} = \begin{bmatrix} A_{0,m} & p_{0,m} \\ 0 & 1 \end{bmatrix} \rightarrow q = \begin{bmatrix} q_1 \\ \vdots \\ q_m \end{bmatrix} \quad E_2 \text{ esetén robotspecifikus.}$$

Puma -560 kinematika (példa)

K_0 : x_0, y_0, z_0 -al adott. (z_0 - tengely mérték, x_0 tetőnéleges)

K_1 : z_1 tengely irányba néz $x_1 \parallel z_0 \times z_1$, de mondjuk $x_1 \neq z_0 \times z_1$

ϑ_1 : változó (0°)

$$d_1 = 0$$

$$a_1 = 0$$

$$\kappa_1 = -90^\circ \text{ (igazából itt is fordított lenne)}$$

~~ϑ_1~~

ϑ_2 : változó (0°)

$$d_2 = \text{konst } d_2$$

$$a_2 = \text{konst } a_2$$

$$\kappa_2 = 0^\circ$$

~~$$\vartheta_2 = \text{változó } (0^\circ)$$~~

$$x_1^* = z_0 \times z_1 \quad \vartheta_1^* = \text{változó } (+180^\circ)$$

$$d_1^* = 0$$

$$a_1^* = 0$$

$$\kappa_1^* = 90^\circ$$

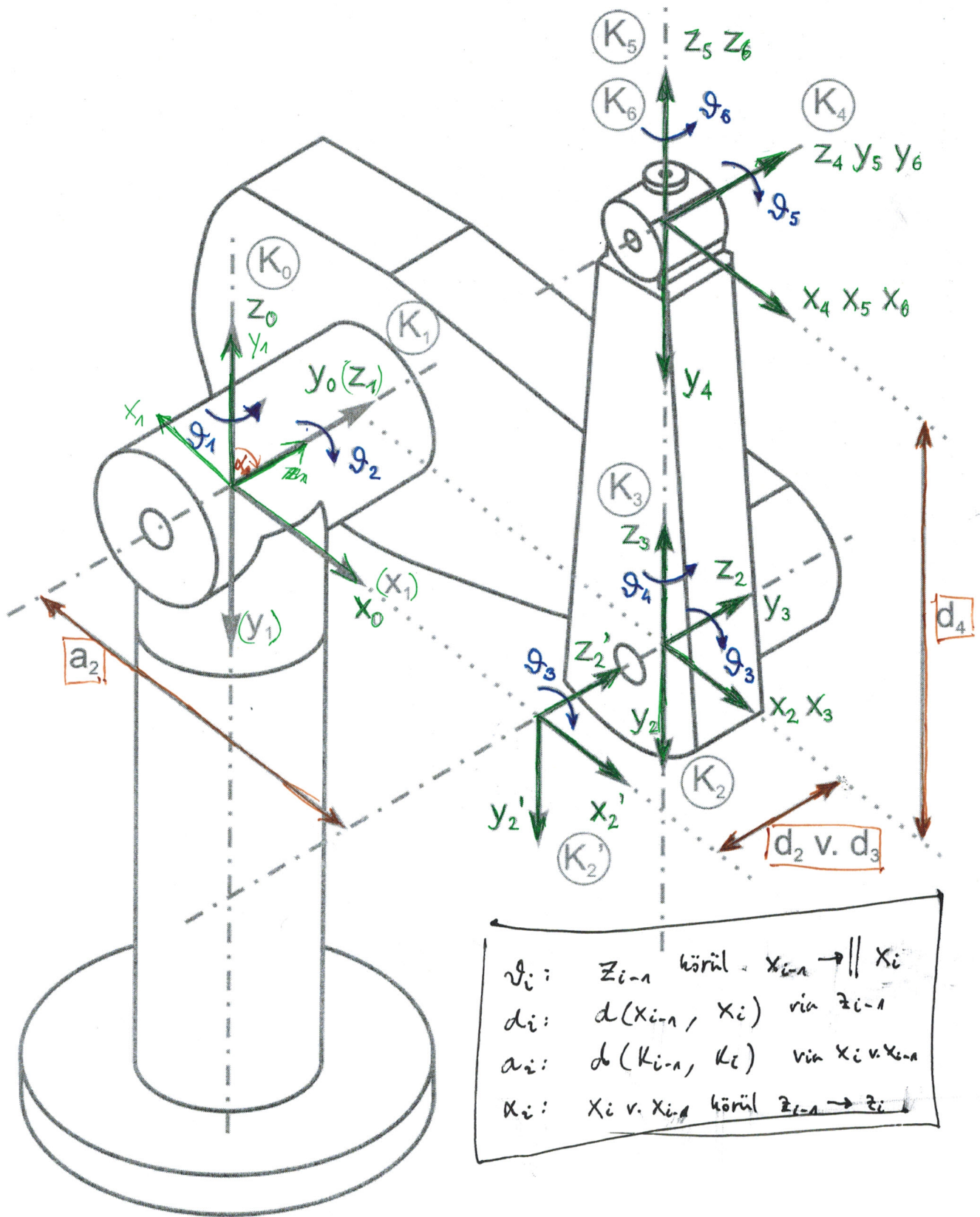
$\vartheta_2^* = \text{változó } (180^\circ)$

$$d_2^* = \text{konst } d_2$$

$$a_2^* = \text{konst } a_2$$

$$\kappa_2^* = 0^\circ \text{ inaktív} \quad \kappa_3^* = \kappa_3^*$$

~~Keletet, amelyek segítségével meghatározhatók a robot Denavit-Hartenberg (DH) paraméterei, így könnyedén felírhatóak lesznek $T_{i-1,i}$ má~~



1.4.1 ábra – A Puma 560-as robot koordinátarendszerei

meghatározása:

K_3 : ϑ_3 : változó
 d_3 : 0
 d_4 : 0
 α_3 : 90°

$$T_{3,6} = \begin{bmatrix} 1 & & & \\ & 1 & & \\ & & 1 & d_4 \\ & & & 1 \end{bmatrix} \begin{bmatrix} \underline{\underline{\text{Euler}(\vartheta_4, \vartheta_5, \vartheta_6)}} & \underline{\underline{0}} \\ \underline{\underline{0^T}} & \underline{\underline{1}} \end{bmatrix} = \begin{bmatrix} \underline{\underline{\text{Euler}(\vartheta_4, \vartheta_5, \vartheta_6)}} & \underline{\underline{0}} \\ \underline{\underline{0^T}} & \underline{\underline{1}} \end{bmatrix}$$

K_4 : ϑ_4 : változó
 d_4 : konst d_4
 a_4 : 0
 α_4 : -90°

$$T_{0,6} = T_{0,3} \cdot \begin{bmatrix} \underline{\underline{\text{Euler}(\vartheta_4, \vartheta_5, \vartheta_6)}} & \underline{\underline{0}} \\ \underline{\underline{0^T}} & \underline{\underline{1}} \end{bmatrix} = \begin{bmatrix} \underline{\underline{l}} & \underline{\underline{m}} & \underline{\underline{n}} & \underline{\underline{p}} \\ \underline{\underline{0}} & \underline{\underline{0}} & \underline{\underline{0}} & \underline{\underline{1}} \end{bmatrix}$$

K_5 : ϑ_5 : változó
 d_5 : 0
 a_5 : 0
 α_5 : 90°

$$T_{0,6} = \begin{bmatrix} \underline{\underline{l_{0,3}}} & \underline{\underline{m_{0,3}}} & \underline{\underline{n_{0,3}}} & \underline{\underline{p_{0,3}}} \\ \underline{\underline{0}} & \underline{\underline{0}} & \underline{\underline{0}} & \underline{\underline{1}} \end{bmatrix} \begin{bmatrix} \underline{\underline{\text{Euler}(\vartheta_4, \vartheta_5, \vartheta_6)}} & \underline{\underline{0}} \\ \underline{\underline{0^T}} & \underline{\underline{1}} \end{bmatrix} =$$

K_6 : ϑ_6 : változó
 d_6 : 0
 a_6 : 0
 α_6 : 0°

$$= \begin{bmatrix} \underline{\underline{A_{0,3}}} \cdot \underline{\underline{\text{Euler}(\vartheta_4, \vartheta_5, \vartheta_6)}} & \underline{\underline{p_{0,3} + d_4 \cdot n_{0,3}}} \\ \underline{\underline{0^T}} & \underline{\underline{1}} \end{bmatrix} = \begin{bmatrix} \underline{\underline{l}} & \underline{\underline{m}} & \underline{\underline{n}} & \underline{\underline{p}} \\ \underline{\underline{0}} & \underline{\underline{0}} & \underline{\underline{0}} & \underline{\underline{1}} \end{bmatrix}$$

1.5. Az avers geometriai feladat megoldása furu 560 robotra

legyen $\underline{\underline{A_{3,6}}} = \underline{\underline{\text{Euler}(\vartheta_4, \vartheta_5, \vartheta_6)}}$

I/SZ. oldalra ábrát
sormain vonni

$$T_{0,6} = \begin{bmatrix} \underline{\underline{A_{0,3}}} \cdot \underline{\underline{A_{3,6}}} & \underline{\underline{p_{0,3} + d_4 \cdot n_{0,3}}} \\ \underline{\underline{0^T}} & \underline{\underline{1}} \end{bmatrix} = \begin{bmatrix} \underline{\underline{l}} & \underline{\underline{m}} & \underline{\underline{n}} & \underline{\underline{p}} \\ \underline{\underline{0}} & \underline{\underline{0}} & \underline{\underline{0}} & \underline{\underline{1}} \end{bmatrix}$$

$$p = p_{0,3}(q_1, q_2, q_3) + d_4 \cdot n_{0,3}(q_1, q_2, q_3)$$

Feladat: $\underline{\underline{l}}, \underline{\underline{m}}, \underline{\underline{n}}, \underline{\underline{p}}$ ismert $\rightarrow q_1 \dots q_6 = ?$

$\underline{\underline{p}}$ is d_4 ismert

innen $q_1 \dots q_3$ ismeretlenek meghatározhatók

$$\begin{bmatrix} \underline{\underline{l}} & \underline{\underline{m}} & \underline{\underline{n}} \end{bmatrix} = \underline{\underline{A_{0,3}}}(q_1, q_2, q_3) \cdot \underline{\underline{A_{3,6}}}(q_4, q_5, q_6)$$

$$\underline{\underline{A_{3,6}}} = \underline{\underline{A_{0,3}}}^T \cdot \begin{bmatrix} \underline{\underline{l}} & \underline{\underline{m}} & \underline{\underline{n}} \end{bmatrix} \rightarrow q_4 \dots q_6 \text{ meghatározható}$$

1.6. Robot differenciális mozgása

Inverz feladat: nemlineáris, nem rőt alakban felírható

- numerikus eljárás
- való idejű alkalmazásban nem jó.

Helyette deriváltak felírás: lokális, konfigurációfüggő

- q_i : csuklókoordináták
- K_m : mozgás felérésének helye...
- v_m : sebesség
- ω_m : növekedésség
- K_{i-1} : elő koordinátarendszer
- $[i]..[m]$: megmunkál: merev test
- $j \times x$ vektors a j -edik megmunkálás keretében

$[i]$ -edőtti q_i csukló irány: s_{i-1} (DH-alkalmaz $s_{i-1} = z_{i-1}$ egyenesek)

${}^m v_{i,m}$ és ${}^m \omega_{i,m}$ parciális {/növe} sebesség K_m keretorigójában, amit q_i vektorosa eredményez

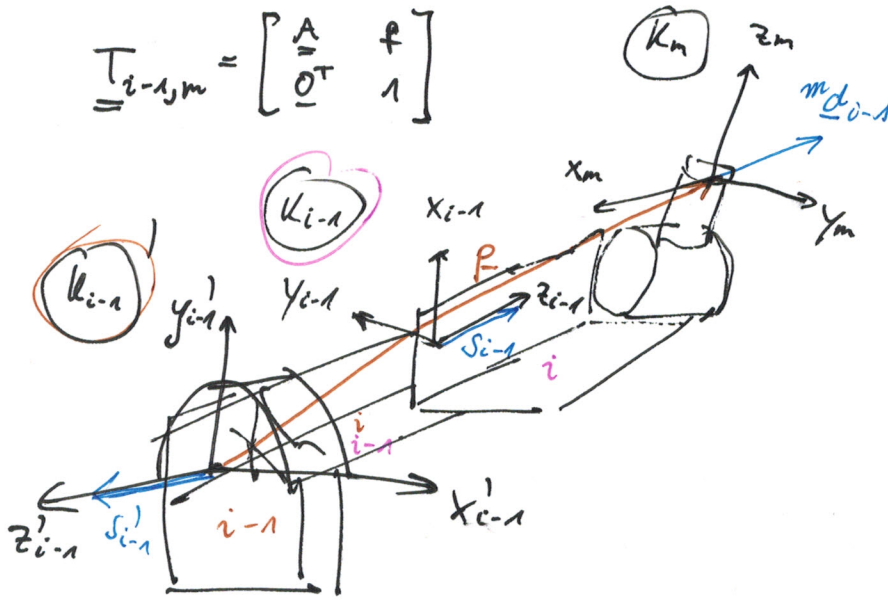
Ezek irányai

${}^m \underline{d}_{i-1}$ és ${}^m \underline{t}_{i-1}$

${}^m v_{i,m} = {}^m \underline{d}_{i-1} \cdot \dot{q}_i$

${}^m \omega_{i,m} = {}^m \underline{t}_{i-1} \cdot \dot{q}_i$

$T_{i-1,m} = \begin{bmatrix} A & f \\ 0^T & 1 \end{bmatrix}$



$${}^m \underline{d}_{i-1} = \underline{A}^{-1} \cdot {}^{i-1} \underline{s}_{i-1} \quad \leftarrow (K_m)\text{-ben kifejezve}$$

\uparrow Transzlációs csatló
 \downarrow Rotációs csatló

$${}^m \underline{t}_{i-1} = \underline{A}^{-1} \cdot {}^{i-1} \underline{s}_{i-1}$$

$${}^m \underline{d}_{i-1} = \underline{A}^{-1} \cdot ({}^{i-1} \underline{s}_{i-1} \times \underline{p})$$

1.6.2. A robot Jacobi-mátrixa

$${}^m \underline{v}_m = \sum_{i=1}^m {}^m \underline{d}_{i-1} \dot{q}_i$$

$${}^m \underline{\omega}_m = \sum_{i=1}^m {}^m \underline{t}_{i-1} \dot{q}_i$$

$$\begin{bmatrix} {}^m \underline{v}_m \\ {}^m \underline{\omega}_m \end{bmatrix} = \underbrace{\begin{bmatrix} {}^m \underline{d}_0 & \dots & {}^m \underline{d}_{m-1} \\ {}^m \underline{t}_0 & \dots & {}^m \underline{t}_{m-1} \end{bmatrix}}_{} \cdot \dot{\underline{q}}$$

${}^m \underline{J}_m$: robot [m]. végtaghoz tartozó K_m keretben kifejezett Jacobi-mátrixa.

1.6.3 Direkt kinematikai feladat

$$\begin{bmatrix} {}^m \underline{v}_m \\ {}^m \underline{\omega}_m \end{bmatrix} = \underline{J}_m \cdot \dot{\underline{q}} \quad @ K_m$$

$${}^0 \underline{v}_m = \underline{A}_{0,m} \cdot {}^m \underline{v}_m$$

$${}^0 \underline{\omega}_m = \underline{A}_{0,m} \cdot {}^m \underline{\omega}_m$$

@ K_0

$${}^0 \underline{J}_m = \begin{bmatrix} \underline{A}_{0,m} & \underline{0} \\ \underline{0} & \underline{A}_{0,m} \end{bmatrix} \cdot \underline{J}_m$$

$$\begin{bmatrix} {}^0 \underline{v}_m \\ {}^0 \underline{\omega}_m \end{bmatrix} = {}^0 \underline{J}_m \cdot \dot{\underline{q}}$$

\uparrow
 Ez jön függ az aktuális csatlókoordinátáktól.

1.6.4. Inverz kinematikai feladat

$$\underline{T}_{0,m}(q) = \begin{bmatrix} \underline{L}_m & \underline{n}_m & \underline{p}_m \\ 0 & 0 & 1 \end{bmatrix} \quad \text{egy lokálisan linearizálható}$$

Így \dot{q} megoldható és enél integrálással q is.

$$\dot{q} = \underline{J}_m^{-1} \begin{bmatrix} \dot{v}_m \\ \dot{\omega}_m \end{bmatrix}$$

6-DOF esetén \underline{J}_m kvadrátikus, invertálható, ha nem szinguláris.
De vannak olyan q konfigurációk, ahol \underline{J}_m szinguláris \rightarrow
adott irányban akkor nem tud elmozdulni.

1.6.5 Statikus erő és nyomatékok transformálása

Kérdés: külső erő, nyomaték \rightarrow milyen csuklónyomaték?

$$\begin{bmatrix} \underline{f}_m \\ \underline{t}_m \end{bmatrix} \rightarrow \begin{bmatrix} m \end{bmatrix}\text{-re ható erő}$$

$$\begin{bmatrix} \underline{f}_m \\ \underline{t}_m \end{bmatrix} \rightarrow \begin{bmatrix} m \end{bmatrix}\text{-re ható nyomaték}$$

Minden K_0 -ban ki van $(x = {}^0x)$

$$\underline{\tau} = (\underline{\tau}_1, \dots, \underline{\tau}_m)^T$$

τ általánosított csuklónyomatékok ($\tau_r \rightarrow$ erő; $\tau_{rot} \rightarrow$ nyomaték)

K_m keretben ható $\underline{f}_m, \underline{t}_m$

Virtuális munka elve

$$\delta W = \underline{\tau}^T \cdot \delta q$$

$$\delta W = \begin{bmatrix} \underline{f}_m \\ \underline{t}_m \end{bmatrix}^T \cdot \begin{bmatrix} \underline{v}_m \\ \underline{\omega}_m \end{bmatrix} \cdot \delta t$$

$$\underline{\tau}^T \cdot \delta q = \begin{bmatrix} \underline{f}_m \\ \underline{t}_m \end{bmatrix}^T \cdot \begin{bmatrix} \underline{v}_m \\ \underline{\omega}_m \end{bmatrix} \delta t$$

$$\begin{bmatrix} \underline{v}_m \\ \underline{\omega}_m \end{bmatrix} = \underline{J}_m \cdot \frac{\delta q}{\delta t}$$

$$\underline{\tau} \delta q = \begin{bmatrix} \underline{f}_m \\ \underline{t}_m \end{bmatrix}^T \cdot \underline{J}_m \delta q$$

$$\underline{\tau}^T = \begin{bmatrix} \underline{f}_m \\ \underline{t}_m \end{bmatrix}^T \cdot \underline{J}_m$$

$$\underline{\tau} = \underline{J}_m^T \cdot \begin{bmatrix} \underline{f}_m \\ \underline{t}_m \end{bmatrix}$$

1.7. A robot dinamikája

Dinamika: nyomatékok és gyorsulások kapcsolata

$\xrightarrow{\text{direkt}}$
 $\xleftarrow{\text{inverz}}$

$$F = m \cdot a$$

$$M = \Theta \cdot \beta$$

mozgásegyenlet

$$\underbrace{H(q)}_{\text{inerciális}} \cdot \ddot{q} + \underbrace{h(q, \dot{q})}_{\text{zavaró hatások}} = \tau$$

@ csillókoordináták terében.

$H(q)$: pozitív definit. "inerciamatrix" ~ robot tehetetlensége

$h(q, \dot{q})$: ahhoz kell, hogy a gyorsulásokból ne változzon a mozgás útja
 pl. gravitációs, centrif., coriolis-erők.

$$\tau_i = \sum_{j=1}^m D_{ij} \ddot{q}_j + \sum_{j=1}^m \sum_{k=1}^m D_{ijk} \dot{q}_j \dot{q}_k + D_i$$

- D_{ii} : eff. inercia
- D_{ij} : csatoló inercia ($i \neq j$) ($D_{ij} = D_{ji}$)
- D_{ijj} : centrifugális hatások
- D_{ijk} : coriolis ($j \neq k$)
- D_i : grav.

1.8 Robotirányítás módjai

Stabilitás vizsgálata: létezés hibája OK
 Kontrollálhatóság: létezés hibája NEM OK

↳ hibrid pozíció és- irányítás

- Pont-pont ir.
 - Folytonos pálya ir.
- lineáris interpoláció { Descartes-koordinátákban vagy egyenes
 combkoordinátákban } görbe

Míg az időparaméter is fontos

$$\underline{T}_{BE}(t)$$

$$\underline{B}_{VE}(t)$$

$$\underline{B}_{WE}(t)$$

pozícióalgoritmus: \underline{q} inv. geom. feladatból
 sebességalgoritmus: $\dot{\underline{q}} = \underline{J}_E^{-1} \cdot \begin{bmatrix} \underline{V}_E \\ \underline{\omega}_E \end{bmatrix}$ \underline{q} inv. kin. F.-ből.
 ↑
 végzetlenebb Jacobi-mx-a.

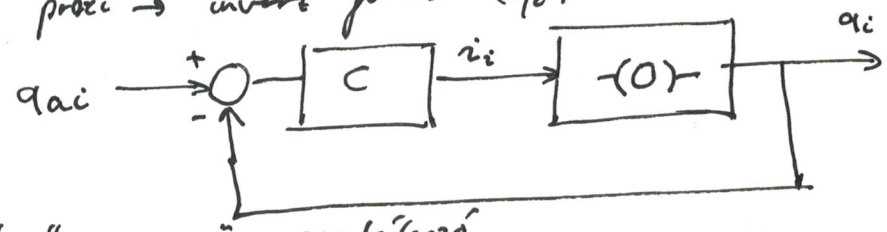
↓
 kell lennie VE: szülőkordináták
 Számításokat mindig el kell végezni

↳ innen \underline{q} vagy $-\underline{q}$. lehet akepp a megoldási algoritmusnak

1.8.1. Decentralizált vezérlés

A legtöbb mai ilyen
 Robot → nem lineáris
 Szervo → lineáris kb.

Központi próba → inverz feladat (q_i) mértéke



Szervóval egyenlő szabályozó

Többi tag csatlakoztatása: szériánként kezeljük
 ↳ Nagy szériák feltehetően nagy sebességnél/gyorsulásnál (de)lényegesen
 művelet elválasztásával.

1.8.2 Kéncímelt nyomaték (nemlineáris négyzetes) működés

meghajtó nyomaték a motoron: $\tau = \underline{H}(q) \cdot \underline{\dot{q}} + \underline{h}(q, \dot{q})$

(Tegyük fel, a τ nyomaték hibátlanul követi a τ_a alapjelet)

$$\tau_a = \underline{H}(q) \cdot \underline{u} + \underline{h}(q, \dot{q})$$

Vagyis: $u = \dot{q}$ (ehhez $H(q)\dot{q} + h(q, \dot{q}) = H(q)u + h(q, \dot{q})$
 kell h $H(q)$ pos. szemidef \Rightarrow inv.ható)

u_i beavatkozó jel

robot dinamikuss modelljénél ismerete kell

Egyenestől független hatós integrátorok integrátorok

$$u_i = \ddot{q}_{ai} + k_{pi}(q_{ai} - q_i) + k_{di} \int_0^t (q_{ai} - q_i) dt + k_{vi}(\dot{q}_{ai} - \dot{q}_i)$$

\uparrow Ez az a PID-alg.-al működő rész

Alapjelként igényli: $\{q_{ai}, \dot{q}_{ai}, \ddot{q}_{ai}\}$

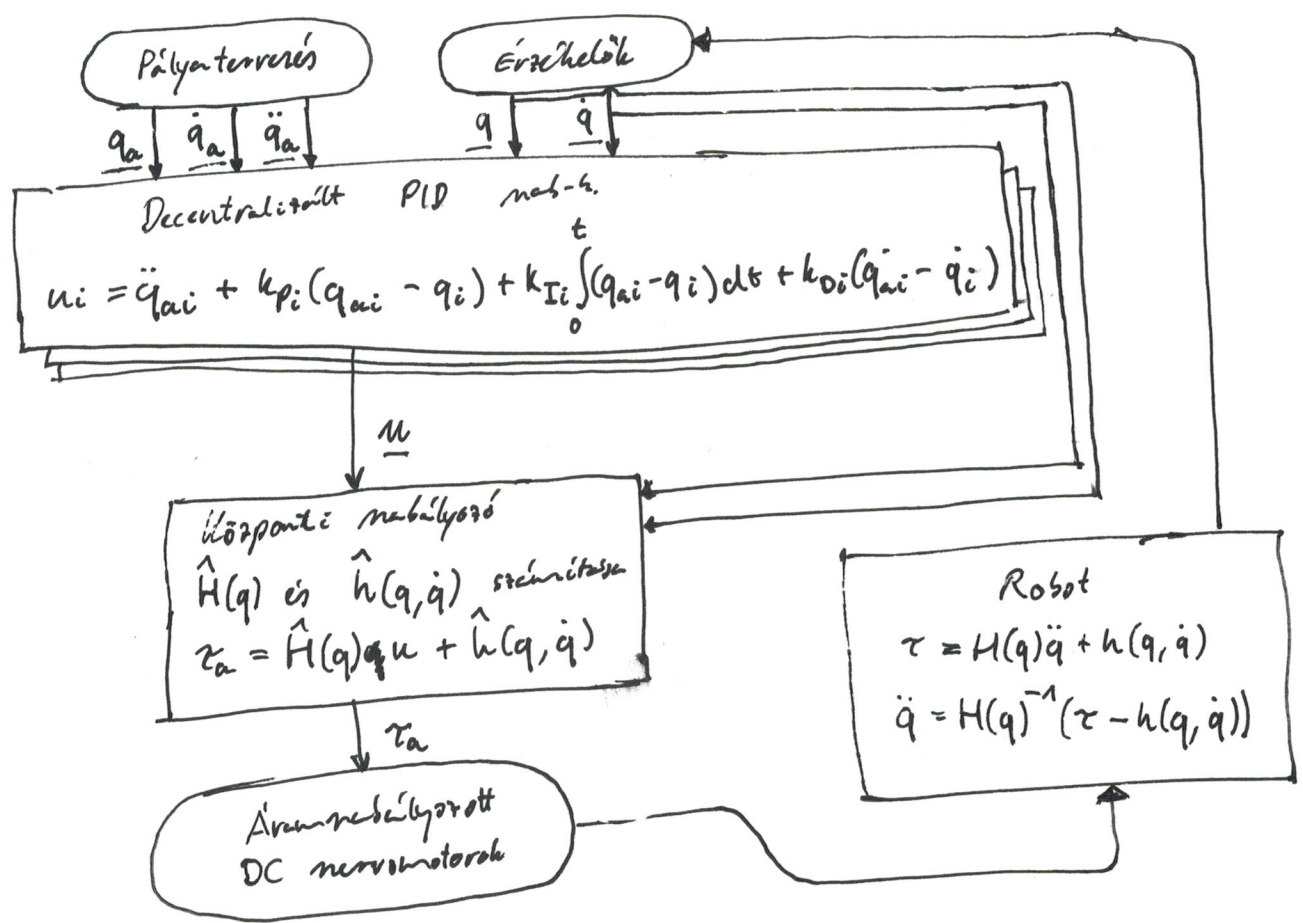
$$\ddot{q}_i = u_i$$

$$(\ddot{q}_{ai} - \ddot{q}_i) + k_{di}(\dot{q}_{ai} - \dot{q}_i) + k_{pi}(q_{ai} - q_i) + k_{Ii} \int_0^t (q_{ai} - q_i) dt = 0$$

stabilizációs hiba: $q_{di} \triangleq q_{ai} - q_i$ $\downarrow \frac{d}{dt}$

$$\ddot{q}_{di} + k_{di}\dot{q}_{di} + k_{pi}q_{di} + k_{Ii} \int_0^t q_{di} dt = 0$$

Megfelelő k paraméterekkel ennel a megoldás a
 exponenciálisan lecsengő.



Stabilizáció (his mért. len pontatlan) mérimódtól modellje

$$\hat{H}(q), \hat{h}(q, \dot{q})$$

Ekkor a rendszer működése:

$$H(q)\ddot{q} + h(q, \dot{q}) = \hat{H}(q)u + \hat{h}(q, \dot{q})$$

$$\Rightarrow \ddot{q} = H(q)^{-1} \{ \hat{H}(q)u + \hat{h}(q, \dot{q}) - h(q, \dot{q}) \} \neq u$$

[Csakúthet his telj. CPU \rightarrow PID-his
 Közp. proc \rightarrow dinam. modell
 Mész proc (!) \rightarrow alappel világhozordinátákkal csuklékoordinátákba]

Procik
 $2 + n(\text{DOF})$

Algebra

1.8.3 Hibrid pozíció és erőirányítás

Érintkezés → kinematikai korlátozások

Pontos pozícióirányítás nem elég

Kell: erők mértéke

- DC motorok árammérője
- + egyenítő
- + olcsó
- csak becsülés

Robotcsukló utolsó mozgásmódja és merevség közti 6-komponensű erő- és nyomatékvektorok

Korlátozott mozgásirányban erők (nyomatékok) meghatározása
Korlátozott nélkül irányban: pozíció

K_C compliance frame → engedelmesség: keret

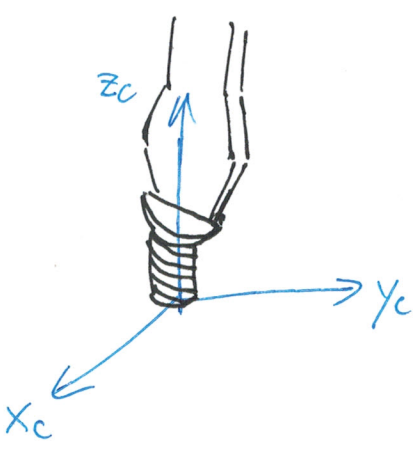
Terminálok korlátozások esetén - tengelyirányba!

Kevesen irányban erőirányítás
↳ többi irányban pozícióirányítás

Nem korlátozott irányban mesterséges korlátozások

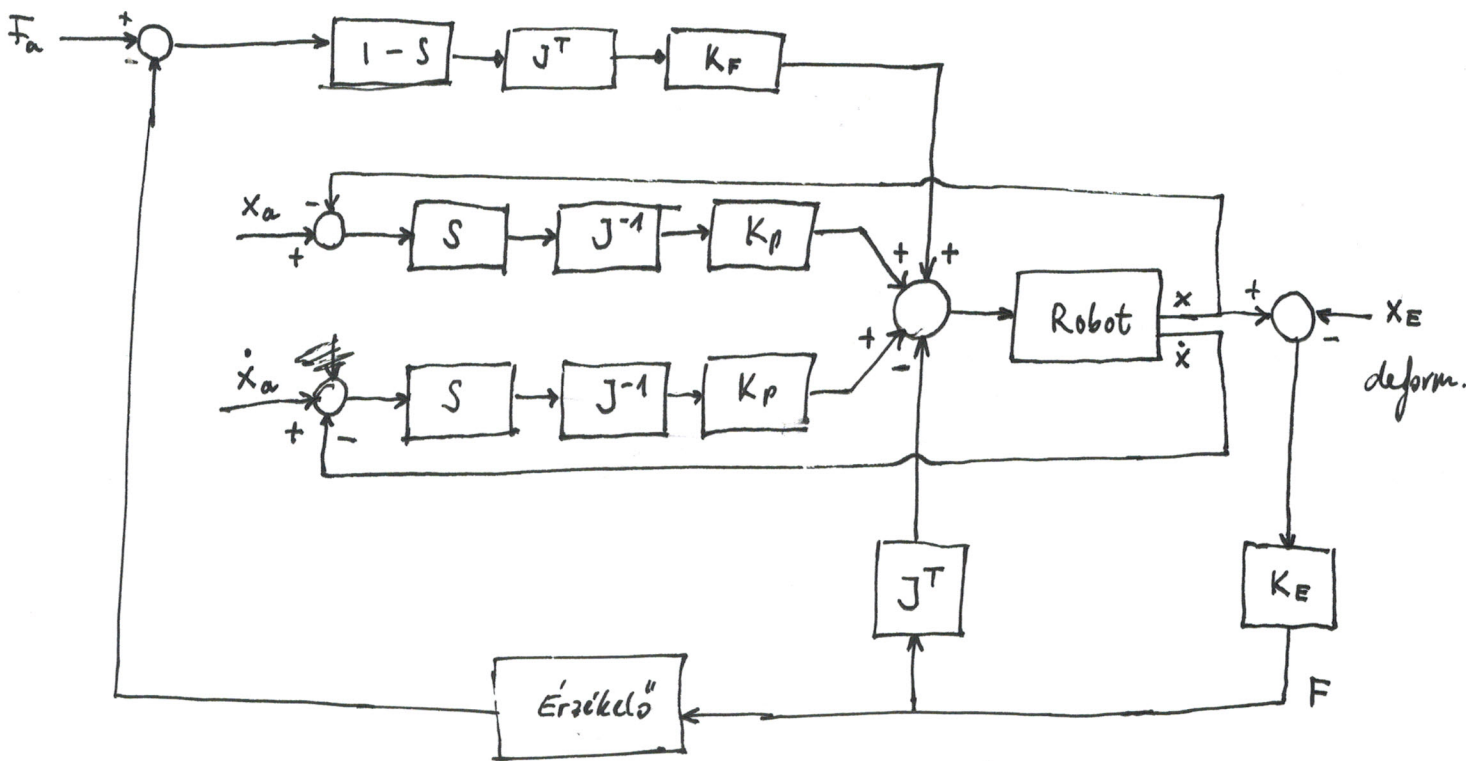
Pozíció/erő elvárása

Ezért K_C -ben értelmezni



Term. korlátozások		vest. k.
$v_x = 0$	→	$F_x = 0$
$w_x = 0$	→	$\tau_x = 0$
$w_y = 0$	→	$\tau_y = 0$
$F_y = 0$	$(\neg v_y)$ →	$v_y = 0$
$f_z = 0$	$(\neg v_z)$ →	$v_z = -p \cdot w_a$
$\tau_z = 0$	$(\neg w_a)$ →	$w_z = -w_a$

$S \ll 1$



x_a : pozíciójel

\dot{x}_a : sebességjel

F_a : erőjel

x_E : kontaktuspontban rugalmas alakváltozás
 $F = K_E \cdot (x - x_E)$ kontaktuserőt eredményez

Jacobi $n \times m$ matrix \rightarrow tengelygyomtatás

S : szeleciós $m \times 1$ poz. in. $0 \rightarrow$ erőir.



$$dt: S = \begin{bmatrix} \cdot & \cdot & \cdot & \cdot & \cdot & \cdot \\ \cdot & 1 & \cdot & \cdot & \cdot & \cdot \\ \cdot & \cdot & 1 & \cdot & \cdot & \cdot \\ \cdot & \cdot & \cdot & \cdot & \cdot & \cdot \\ \cdot & \cdot & \cdot & \cdot & \cdot & \cdot \\ \cdot & \cdot & \cdot & \cdot & \cdot & 1 \end{bmatrix}$$

$$Sv = S \begin{bmatrix} v_x \\ v_y \\ v_z \\ \omega_x \\ \omega_y \\ \omega_z \end{bmatrix} = \begin{bmatrix} \dot{v}_x \\ \dot{v}_y \\ \dot{v}_z \\ \dot{\omega}_x \\ \dot{\omega}_y \\ \dot{\omega}_z \end{bmatrix}$$

$$(1-s)f = (1-s) \begin{bmatrix} f_x \\ f_y \\ f_z \\ \tau_x \\ \tau_y \\ \tau_z \end{bmatrix} = \begin{bmatrix} f_x \\ \cdot \\ \cdot \\ \cdot \\ \cdot \\ \cdot \end{bmatrix}$$

2. A NOKIA-PUMA 560-AS ROBOT IRÁNYÍTÓRENDSZERE

2.1. Inkrementális adók

Impulzusjeladó 
 Analóg jeladó 

- + pontoság
- + teljes reprod.
- + megbízható
- + zavarérzékeny

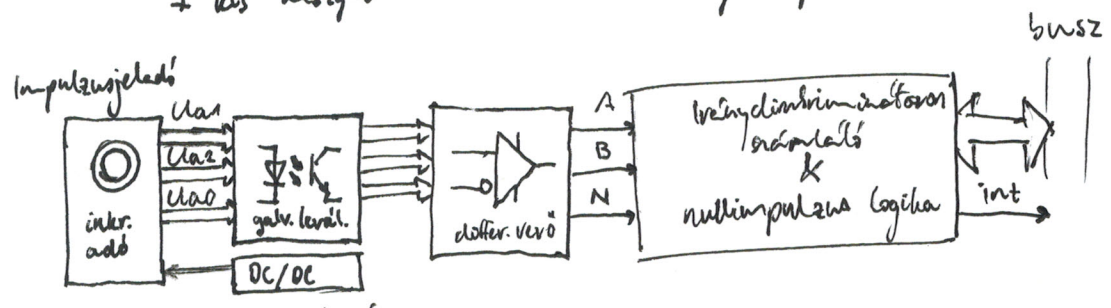
- alka poz. info hiánya
- kiterjedt elektr. tápigény
- jelkeretkényszer

Nullimpulzuslogika

↳ Mechanikai vezérvázalattal együtt megvárja a next regiszterrel az első abszolút pontosságot → végig kell menni & nullimpulzusig menni

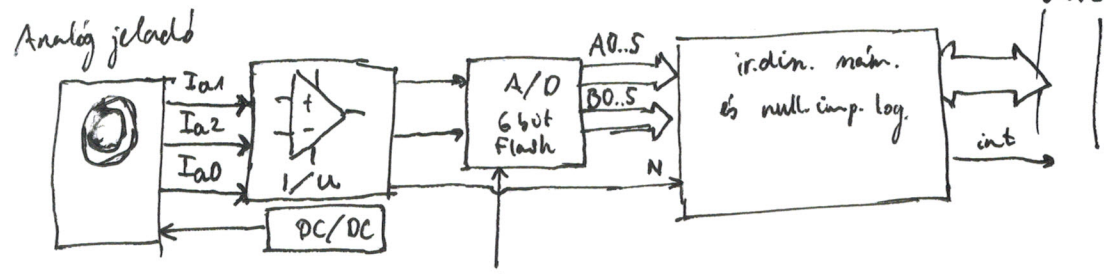
↳ Potenciométer (NP560 is) alka poz. inf.
 Megvárja legelőször melyik körirányításban van

Első az első nullimpulzusig fordulni
 + kis mozgás - drága poti



zár. levél.: - sebesség
 - fázishelyzetet tartás!

diff. vevő.: pl. RS-485/422
 felismerhető a beállításnál: fázishelyzet nem pontjából jobb, de drágább.

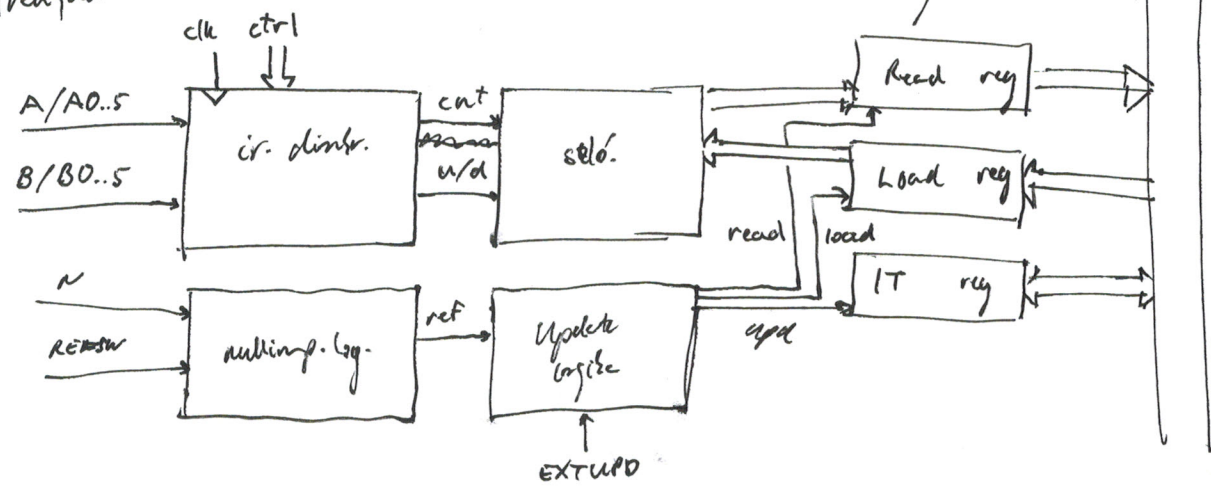


I/u: 10-12µA kis áramjel → 1-2V
 nullimp → logikai jel

kis áram → nem lehet bevalasztani, de legelőször áramjel

Flash A/D:

iránydívóvminitőrés márkáló & nullimpulzus logika



iránydívóvminitőrés: miérés lehet, ha tud túlszámítástelerni
 1/2/4-mérés hiáttekebnel megtehető cnt + u/d jelek

márkáló: 2lt 16 v 32 bit
 ↳ SW hitezenet

nullimpulzus logika → ref impulzus

lehet kalibrálások (refsw aktív) vagy

minden nullimpulzuson átkalibrálás lehetőséggel (előző érték + $\frac{\text{inkr}}{\text{ford.}} \cdot \{-1, 0, 1\} \approx k_j$ érték)

SW kárhétközök



Két hirtelenes közt $T_{max} < \frac{2^{16}}{f_{max}}$ idő felhet el

Sebesség:

$$v \approx \frac{\Delta S}{\Delta t} = \frac{\Delta N q}{T_v}$$

q : felbontás [$\frac{m}{inkr}$] ΔN : inkor T_v : mintavételi idő

Pontoság: $\frac{1}{\Delta N}$ egy T_v nem lehet túl kicsi!

Kis sebességnél.

$$v \approx \frac{\Delta S}{\Delta t} = \frac{kq \cdot N}{f_s}$$

q : [$\frac{m}{inkr}$] f_s : [$\frac{1}{s}$] segédfő. N : segédfő. számolás ~~idő~~ $N \cdot T_s = \frac{N}{f_s} = \Delta t$

k : [inkr] arány; infaranszt ~~számolás~~ két időmére közt (const)

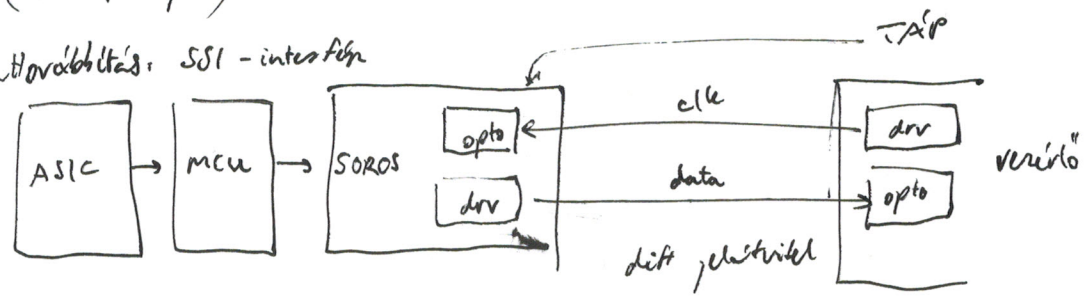
2.2. Abszolút mághelyzet csöke

Ált 12-18 bit

Gray-kód $\Delta bit\# = 1$

Multiturn: elektronikus léghelyzet többlet (pl. 4096) fordulatok kimentél abszolút kódolásra (+ 12 bit pl.)

Adathordozhatóság: SSI-interfész



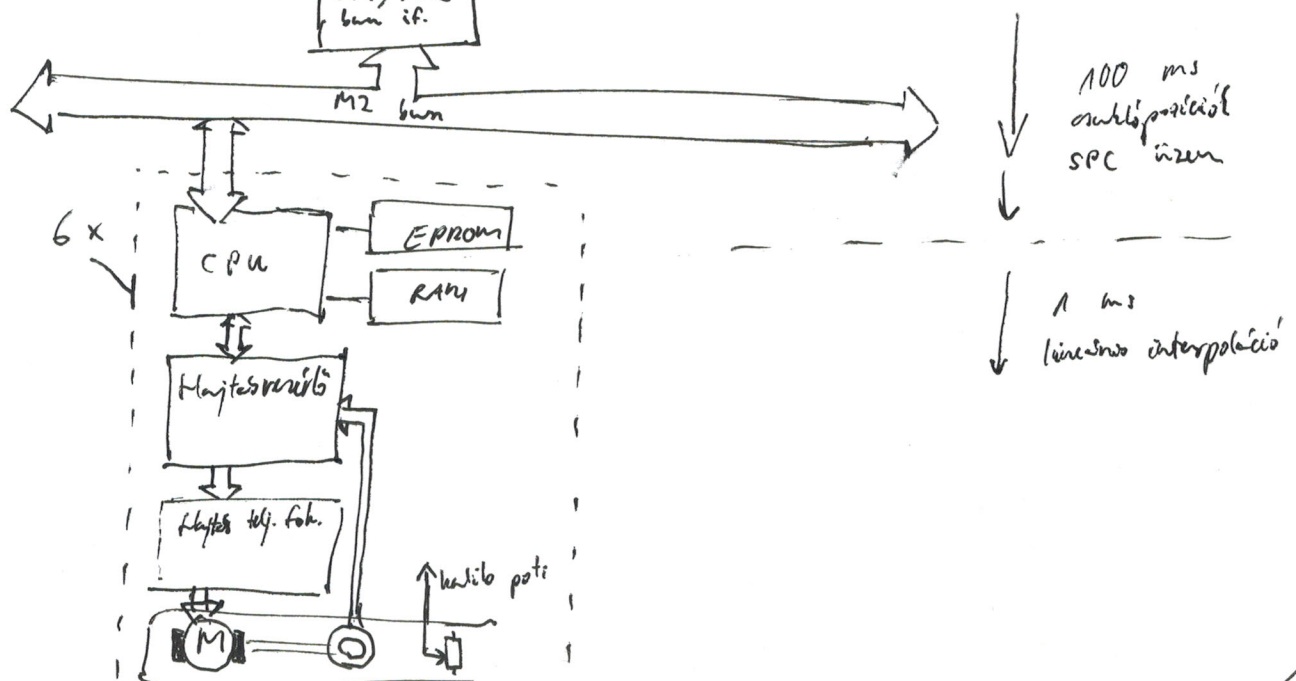
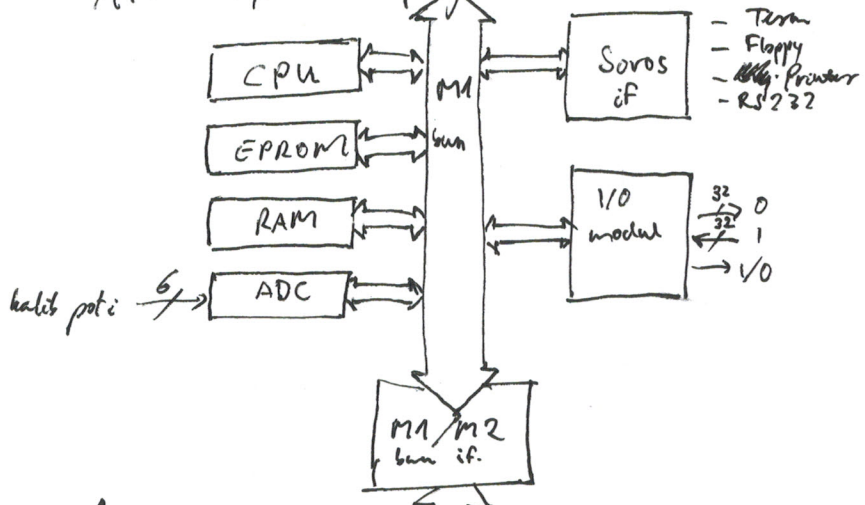
Pl. EnDat if. RS485

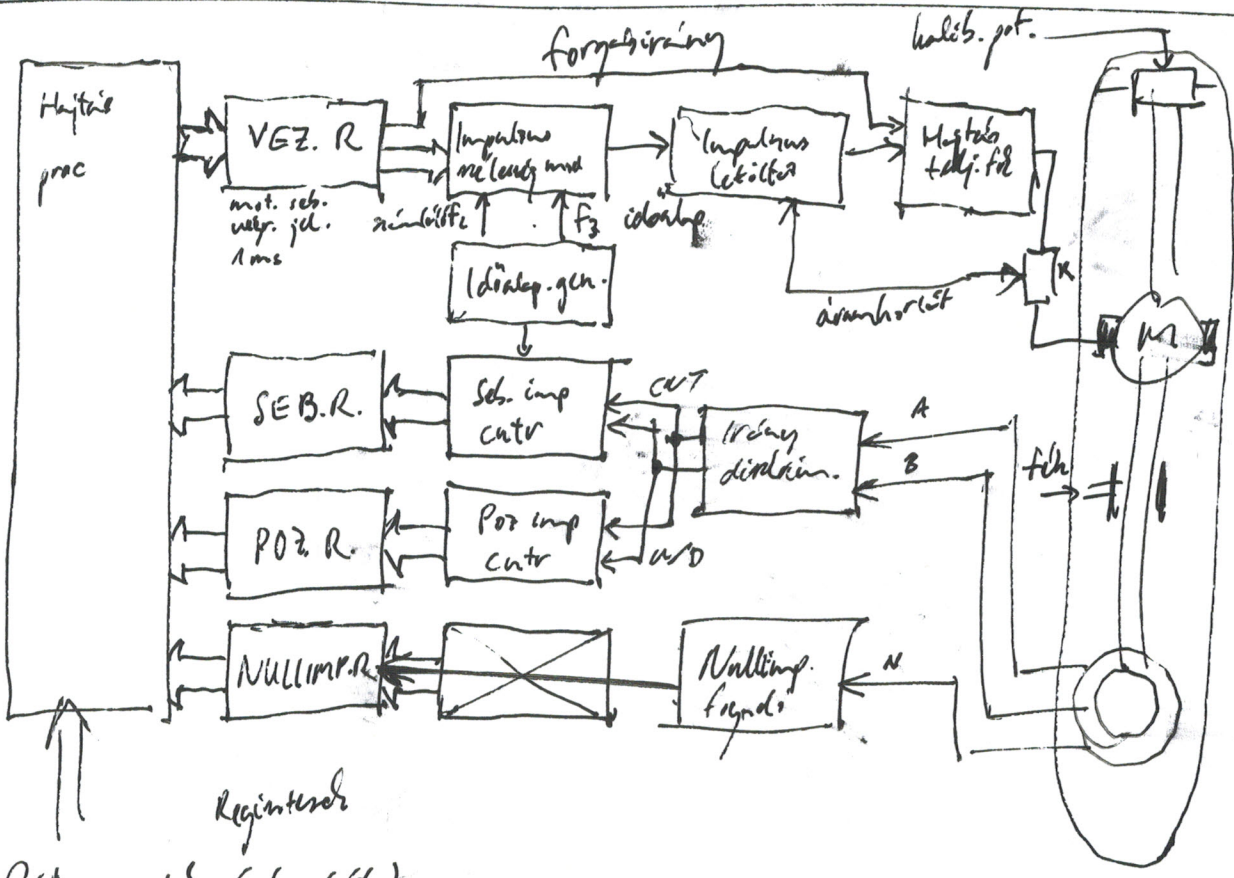
2.3 X

2.4 S7era-35 irányítórendszer

ARPS rendszer

programozható





Regintésor
 Pályapontok (2-3m/s)
 Felügyelőtől
 100 ms

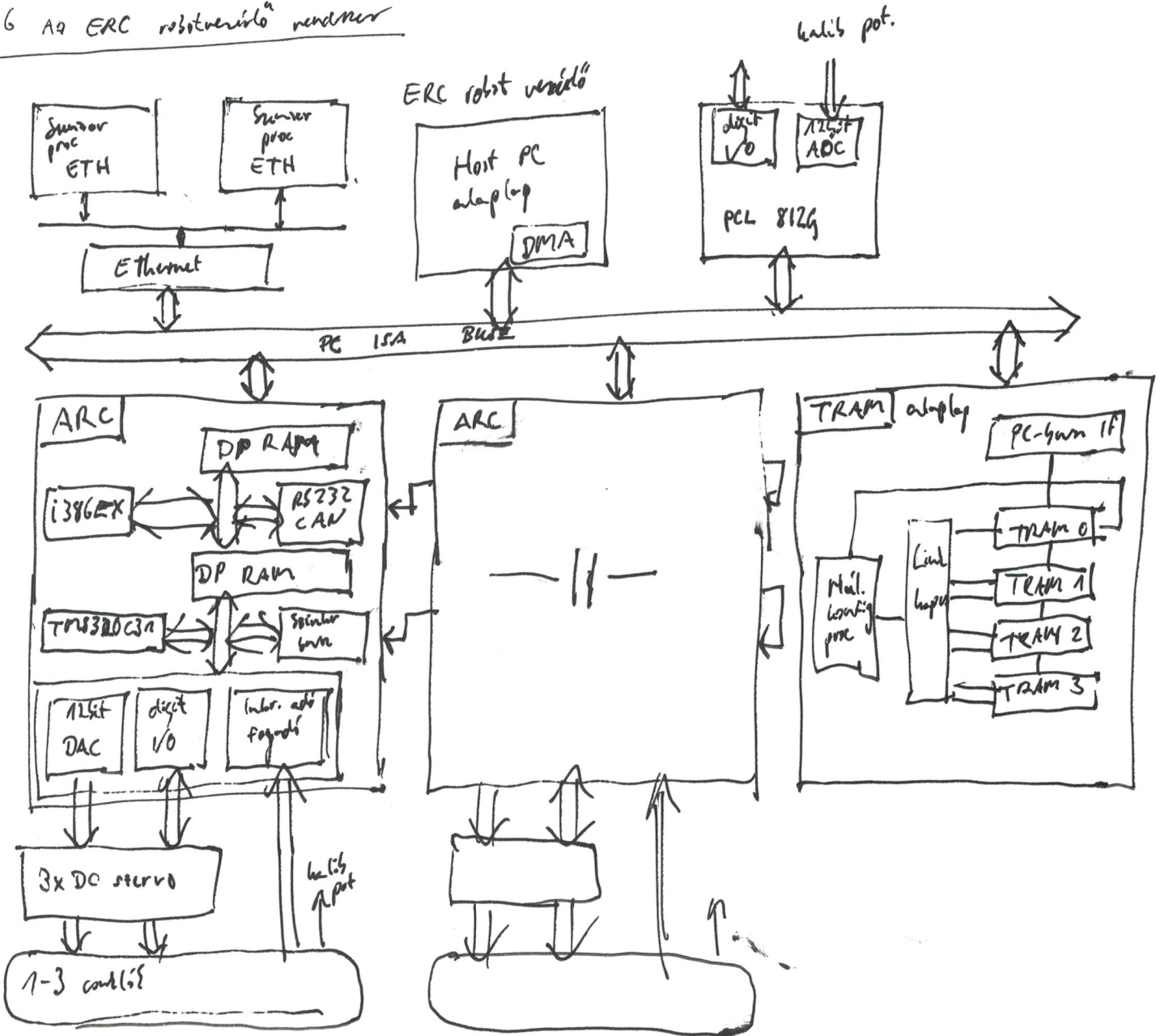
2.5 Fylóðs úrval

ímörðunin er meðal annars hvaldandi á

3 stigið arkitektúra

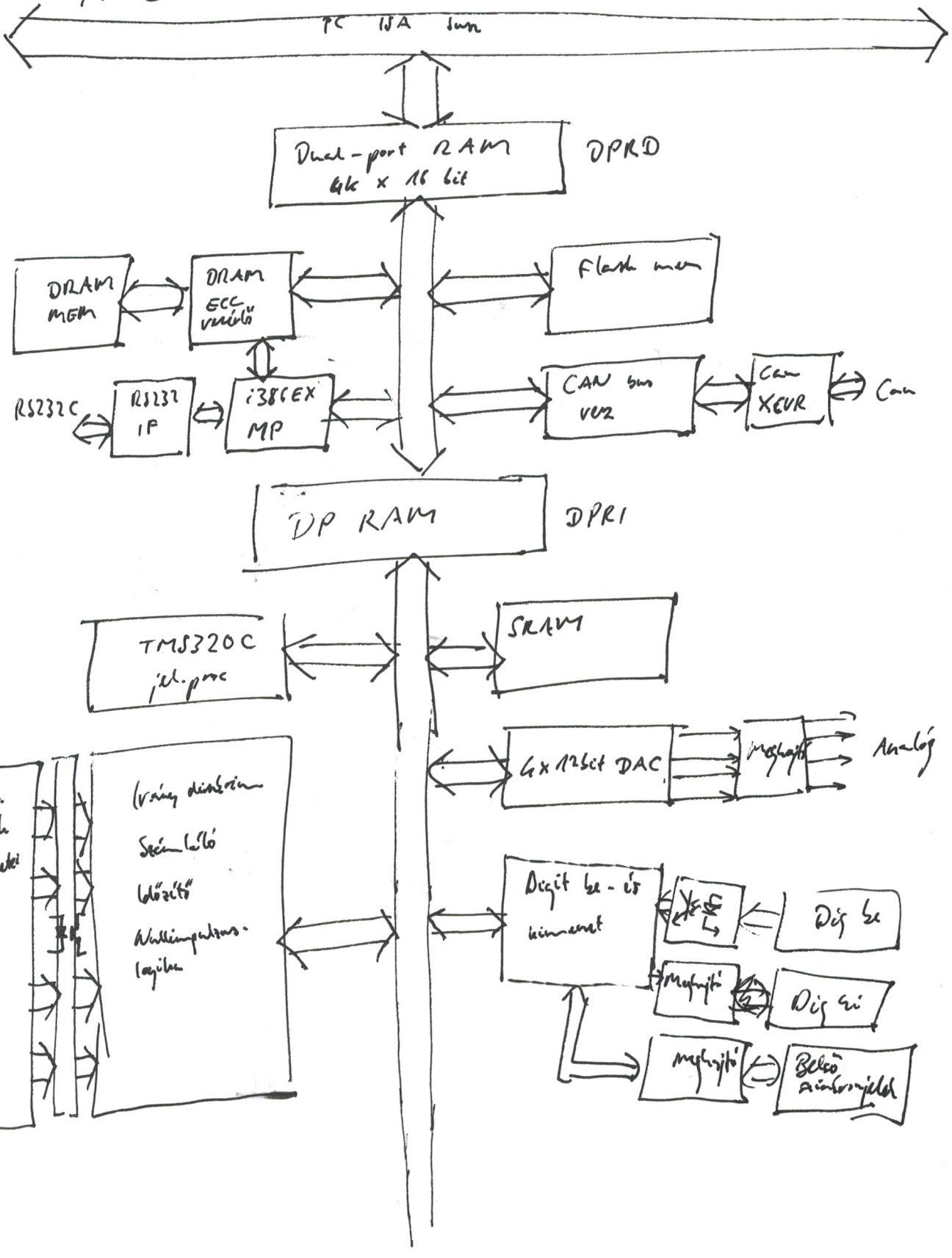
1. - pólýtómur
2. - dýnamískur mæling
3. - meginreglur reglulegri mælingu

2.6 Ág ERC robotvörðun



ARC

PC ISA bus



3. SZABÁLYOZÓK ÉS PROGRAMOZÁSUK

3.1. Alapfogalmak

Szabályozás: rezetér vs kimenő jelről

LTI vs

Feladat

Értéktartás : zavaró jellemzőt eltávolítás
Követés : referencia alapján szabályozás tipikus

NLTI vs → működési lin.

3.1.1. A szabályozók típusai

Alloos szabályozó:

Kimenő jel dinamikát érték.

Gyakran 2/3/5 alloos

motoronál 0 + sebesség · 2 + lassú · 2

+ kapacitívsemmű kimenő teljesítményjelző

- nem szabályoz 0 meredő hibára (alkalmazott lengés)

Időarányos szabályozó

Ki: PWM

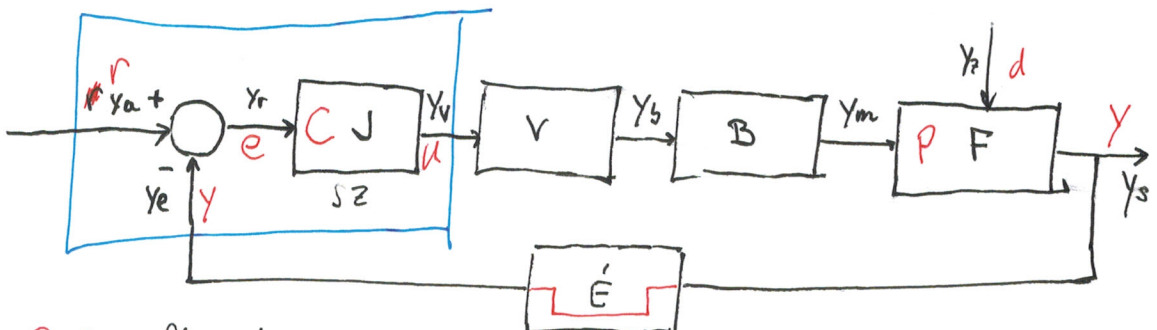
+ kapacitívsemmű

Folytonos szabályozók

DT vagy CT (analóg vs digitális)

Előbbi is lehet CT-ként kezelhető, ha időállandója < 1/10 · vs időállandója.

3.1.2 Szabályozók funkcionális egységei és jelei



P F : folyamat

y ys : szabályozott jellemző

ym : módosított jellemző

d yt : zavaró jellemző

É: érzékelő

ye: ellenőrző jel

C Sz: szabályozó jel

r ya: alapjel

e yr: hibajel

F: jelformáló

u xv: végrehajtó jel

3.1.3. A stabilitásosokhoz minden támasztott elvárás

- stabilitás
- zérus maradó hiba

Függéses
 alapjelkör., zavarellh. ← típusnem
 maradó hiba ← karakterisztika

- stabilitási idő
 ↑ ω_c nagyobb freq → $\frac{3}{\omega_c} < t_c < \frac{10}{\omega_c}$
 ahol α karakterisztika = 1

- lengési hájlam
 ↑ φ_m fázistartatlak: nyitott kör fázistolak ω_c -n -180° -től alfelé
 $\varphi_m = 60^\circ \rightarrow$ lengés $< 10\%$

3.2 Stabilitási hirtelentés

PID egyteljesítményű

$$\frac{u(s)}{e(s)} = k_c \cdot \left(1 + \frac{1}{sT_I} + \frac{sT_D}{1+sT} \right) \quad ; \text{péld. igazi PID}$$

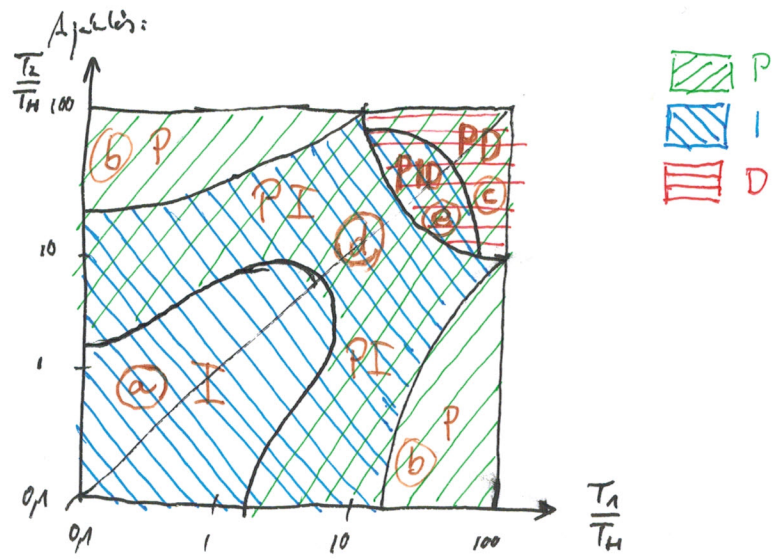
Tervezősoros PIPD

$$\frac{u(s)}{e(s)} = k_c \cdot \frac{1+sT_I}{sT_I} \cdot \frac{1+sT_D}{1+sT} \quad (\text{nem azonos } T \text{ értékek!})$$

3.2.1. Stabilitási arányos folyamathoz.

Arányos folyamat \approx 2-tárolós holtidős tag

$$P(s) = \frac{e^{-sT_H}}{(1+sT_1)(1+sT_2)}$$



- a) tároló nélküli holtidős tag
Nyquist-diagram: kör \rightarrow 1-nél nagyobb K_c -ra labilis
I-vel stabilizálható
- b) egytárolós folyamat
P-vel stabilizál, nagy K_c átunteti a hibát
- c) kéttárolós azonos időállandóval
Bode \rightarrow min $-20 \frac{dB}{\omega}$ mérése
PD-vel stabilizálni egy pótlást, hogy legyen
Itt van az ω_c , de tessékünk!
Strukturálisan stabilis kör, de PD \rightarrow nagy túlvezérlés, kis statikus hiba
- d) gyéltérfelettség ált. eset
Bode
PI-vel nagy alábbi jelre hiba nélkül szabályoz
I-vel gyorsabb, nincs nagy túlvezérlés
- e) ritka
PID akkor indokolt, ha két közül azonos időállandós és nem elhanyagolható holtidős
 K_c nem lehet nagy (TU), ezt javítja az PI (stat. hiba)
Időállandót PD megjavítja, de nagy lesz a túlvezérlés

3.2.2. Szabályozók integráló folyamatokhoz

- P vagy PD: zavarok hiba
PD: legnagyobb időállandós túlvezérlés csak gyorsítható
- PI kell, ha a zavarok az integráló hatás előtt hat.
-40 és -60 dB/d-os mérése van
-20 $\frac{dB}{\omega}$ -os mérés: integrátor időállandókat a legnagyobb időállandóval min 1D.-al kevesebb (tízszorosára) (felt: 2. időáll. nincs túl közel.)
- PID: legnagyobb időáll \rightarrow nagyobb freq.
integ. idő \rightarrow 1D.-al nagyobb
Itt lesz kisebb hibás integrálási idő.
nagy túlvezérlés csak gyorsít.

3.3 Szervomotorok

3.3.1. A legfontosabb szervomotorok

- Állandó mágneses egyenáramú
 - kb. lineáris
 - egyszerű vezérlés
 - alt kommutátoros, tinkere tud menni
- Állandó mágneses szinkron
 - kétkeletűtől egykeletűig
 - drága mágnes
 - szögletes vezérlés: inverter elvén PWM szabványvezérléssel
- 3-fázisú asinkron
 - cső elhagyás
 - kedvelés: olcsó, kis felületlenségi: aszinkron
 - arona vezérlési elv
- Léptető motor
 - szinkron elvű vagy légnyom forgórészű
 - kis felj.
 - absz. pozicionálható, de tévedhet és aszinkronos léptet
- Switched reluctance motor
 - = légnyom forgórészű léptető + vezérlő elektronika
 - Altis és forgórésh. más mértékben forgórésh. (húzó pótlás)
 - nagy forgómomentummal ellátott négykeletű léptető
 - illesztett táplálás az állandó aszinkronos elvű elvű
 - szögletes vezérlés - áram függvényű EPROM tárolja
 - forgórész pozícióját Hall-szenzor vagy optoszenzor érkezi
- kétkeletű egyenáramú brushless DC motor
 - Állandó mágneses forgórészű minikon motor
 - Forgórész pozícióját függő táplálás
 - Kb. lineáris
 - vezérlő elektronikkal együtt
 - drágább

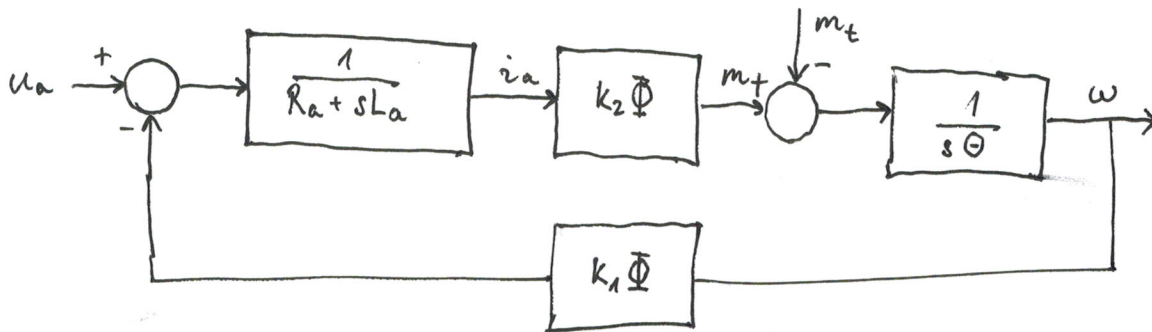
3.3.2. Az egyenáramú szervomotor

Armaturkör: $u_a = i_a \cdot R_a + L_a \cdot \frac{di_a}{dt}$

Indukált fesz: $u_i = k_1 \cdot \Phi \cdot \omega$
gépállandó fluxus frekvencia mértéke

motor EM nyomatéka: $m = k_2 \cdot \Phi \cdot i_a$

Gyorsító nyomaték: $m - m_t = \Theta \cdot \frac{d\omega}{dt}$
terhelő nyomaték frekvencia + terhelő tehetetlenségi nyomatéka



$$\frac{\omega(s)}{u_a(s)} = \frac{A_M}{1 + sT_M + s^2T_V T_M}$$

$$A_M = \frac{1}{k_1 \Phi}$$

motor átvit. tény.

$$T_M = \frac{\Theta R_a}{k_1 k_2 \Phi^2}$$

mech időálland.

$$T_V = \frac{L_a}{R_a}$$

vill időálland.

$$\frac{\omega(s)}{m_t(s)} = \frac{A_T (1 + sT_V)}{1 + sT_M + s^2T_V T_M}$$

$$A_T = \frac{-R_a}{k_1 k_2 \Phi^2}$$

$$\zeta = \frac{1}{2} \sqrt{\frac{T_M}{T_V}}$$

csillapítási tényező ($T_M < 4T_V$ esetén lenge)

3.4 nem lineárisítások

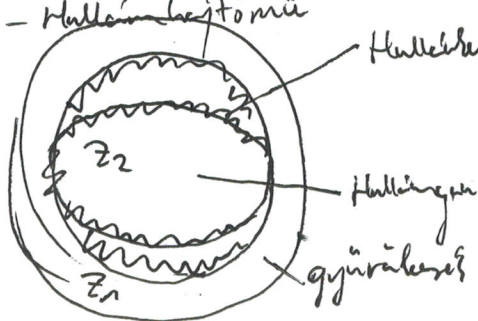
3.4.1. Köttyogás

Holtjáték

Statisz hiba akkor is, ha lineárisan 0 hibát szabályozunk

Megoldás

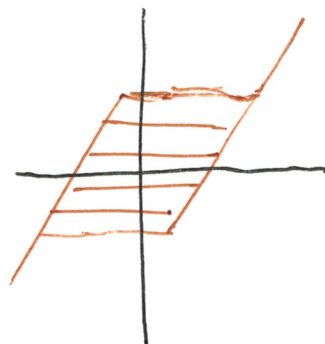
- Előfeszített fogaskerék
- Hullámszűrő



Hullámszűrő: hullámszűrő - al ellenfétes irányba indult

$$\gamma = \frac{z_2}{z_1 - z_2}$$

(lassít, ha $\gamma > 1$: gépjármű)



Áttekintés a motoros

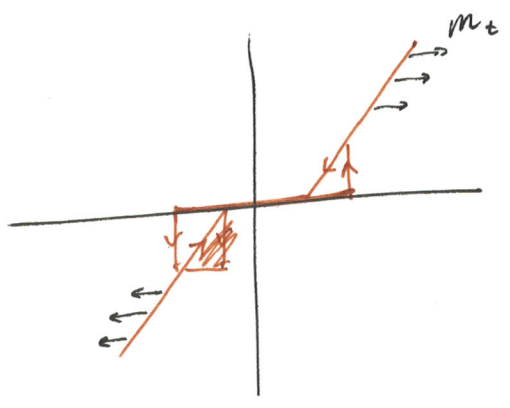
$$\tau = \gamma \cdot m \cdot \eta$$

↑
vesztéscsúcsok áttételkor áttételkor

Schéma szerint
$$\tau = \frac{\gamma \cdot m}{\eta}$$

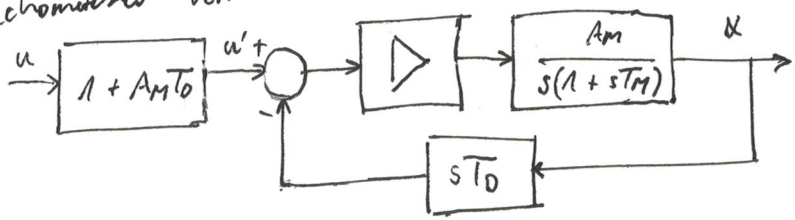
3.4.2. Erőátviteli sáv

Dead zone, holtzóna
motoros hiba
szünetelés miatt



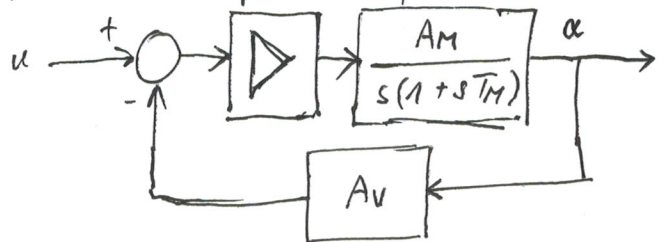
- Mo.
- kis szünetelési időtétel
 - kefe nélküli motor
 - sebesség vs.
 - poz vs.
 - sv kompenzáció inverz karakterisztikával

Tachométeres vcs.



motor integráló marad
irányítandó esetben
átrikelti képző részen; vcs előtti kompenzáció miatt
↳ inaktívkor (1 + A_m T_D) -n nagyobb jelet kap a motor (→ vs.)

Helyzetbéli: integráló típusú (hímenet: elmozdulás) arányos visszacsatolással
Ált. állandó pozícióbéli szabályozás



- arányosabb
- gyorsabb
- hibát megprezent hibahibák

3.4.3 Telítődés

Szaturáció, korlátosság

Hatásai

D-hatás nem eléggi erővel
 elintegrálódás

Kihárítóhatás lehet: alappól meredekség korlátosság - megverés
 Jobban mutatja pl a helyzetkezelítő lin. modelljét.

3.5. Az elintegrálás és kihárítóhatás

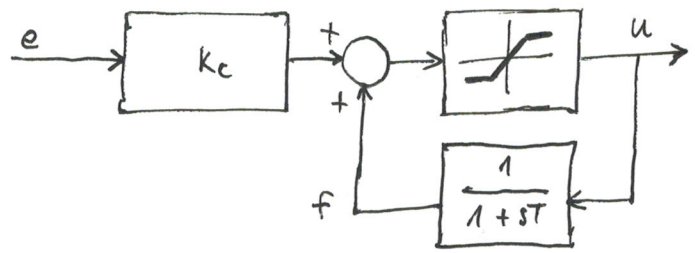
3.5.1. Az elintegrálás

Integrator windup → Elintegrált állapotban a szabályozási kör nyitott
 ↓
 Időkiesés

- Anti-windup kapcsolás
- Korlátosság összehangolása (mérterezés)

3.5.2. A FOXBORO szabályozás

Belső korlátozás beiktatása és illesztése



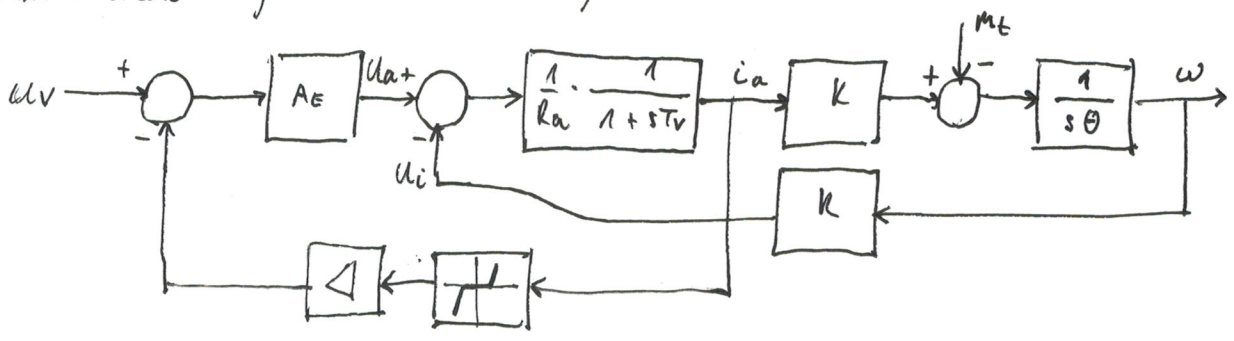
$$C(s) = K_c \cdot \frac{1}{1 - \frac{1}{1+sT}} = K_c \left(1 + \frac{1}{sT} \right)$$

3.6 Szabályozási feladatok robotokban

Csuklíművelőzések mintjén

3.6.1. Áramkorlátozás

Fennverített motornál kell, mert legy (befeműrészes)
 Áram értéktől függő sávban kívül negatív visszacsatolva

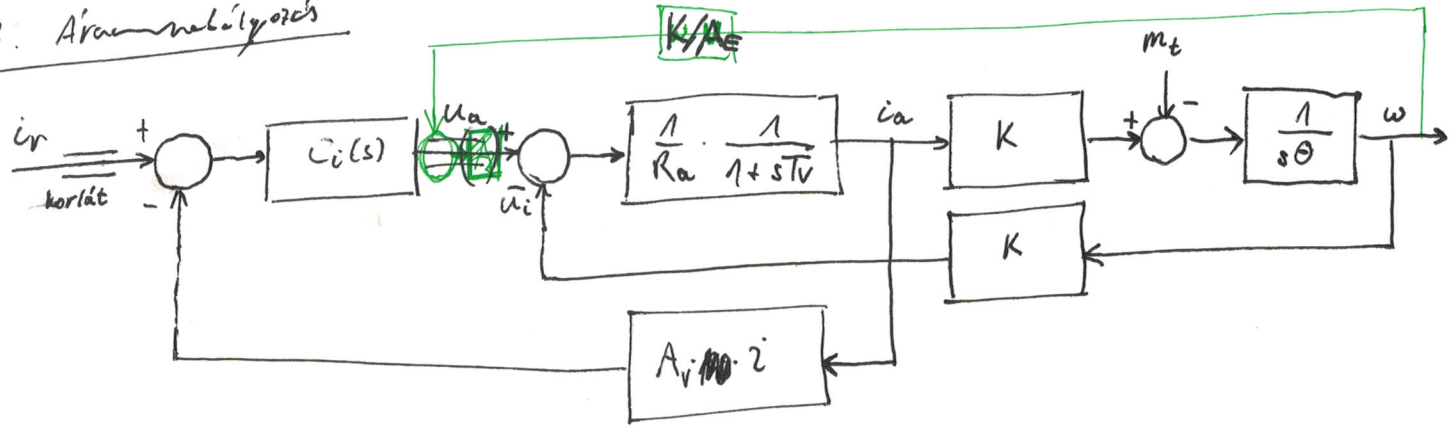


3.6.2 Nyomatékstabilitás

3 eset:

- hatékony nyomaték. → teljes robot szabályozás
- előrendszertől nyomaték alapján korlátozás (l. nemlineáris visszacsatolás)
- motor elektromágneses nyomatékú szabályozás: áramszabályozás

3.6.3. Áramszabályozás



$$L(s) = k_c \cdot \frac{1 + sT_I}{sT_I} \cdot \frac{1}{1 + sT_V} = k_c \cdot \frac{1}{sT_I}$$
 hurok a villamos időállandóhoz mérten

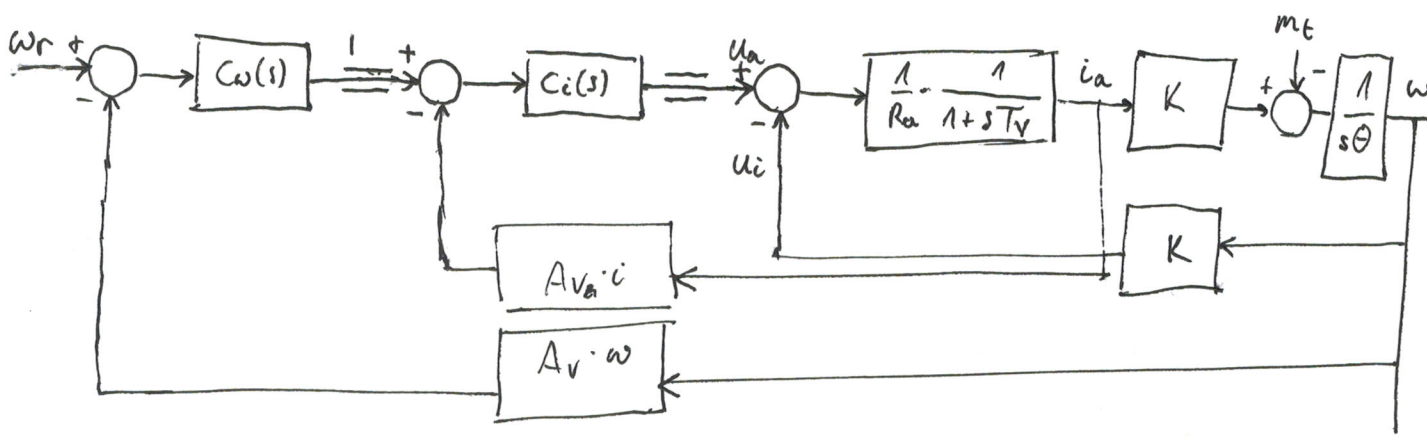
PI szab. időállandó $\frac{1}{k_c}$ arányban csökkent

- Felgyorsul
- Tülsúly
- Inaktív fázis → zavartól mentes (statisztikus hiba, amíg gyorsul a motor) → zavarkompensáció inaktív fázis nem mérhető, de vele arányos szögsebesség igen
- Elég az alapjellet korlátozni

3.6.4. Szögsebesség (ford./mín) szabályozás

Egyhurkos szabályozás és PI v. PID
Kell áramkorlátozás

Gyakoribb a hánkhélt szabályozás
Alárendelt áramszabályozás
PI szab. → ritkább időállandót gyorsítja



Áramszabályozás eredője egyenlős arányos
Ezt látja a külső szabályozás

3.6.5. Pozíciósabályozás

Egyhurkos pozíciósab. ↔ folyamatos utlárolás integráló

Lehetőség:

Pozíciósabályozás alárendelt áramszabályozással

Kéthurkos hánkhélt szabályozás alárendelt mozgásmeghajtás szabályozással

Szögsebesség szabályozás PI vagy PID

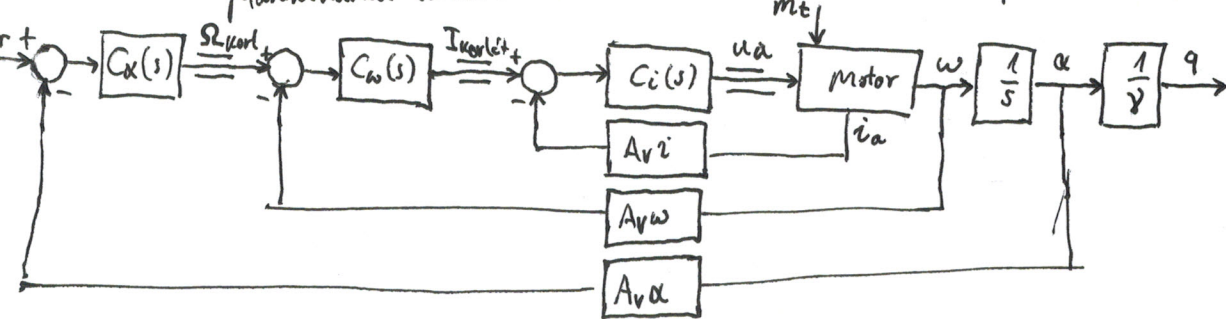
Belső kör eredője = utlárolás arányos tag

↳ PD v. PI szab.

Kell áramkorlát külön

plátóhurkos hánkhélt szab.

Belső PI: kell időállandó gyorsításra
Áramkorlát: Ci alapjel korlát
Ca: átl. PD, mert követelmény a csökkenthető aperiódikus beállításra



3.7 Stabilitási tervezés egyenesen

Kísérleti módszerek

Ziegler-Nichols módszer

Arányos szabályozóval lengetés

Munkahőmérséklet változtatva keresni a kritikus körerősítést

Hatvány: állandósult lengés

Oppelt-módszer

Ugrásjelre átmeneti fr

↳ Egyenlőtérű közeletés

Arányos folyamatra ezt tervezhető szabályozó

3.7.1. Példa arányos folyamatra

$$T_H = 3 \quad T = 14 \quad K_p = \frac{\Delta y}{\Delta u} = 2$$

↓
készen tartandó folyamat PI-vel

↓
Nyílt kör: $L(s) = \frac{e^{-sT_H}}{sT_I}$

$T_I = 2T_H$ az 60° fázis tartományt ad

$$P(s) = K_p \cdot \frac{e^{-sT_H}}{1+sT} \rightarrow PI: PI(s) = K_c \cdot \frac{1+sT_I}{sT_I}$$

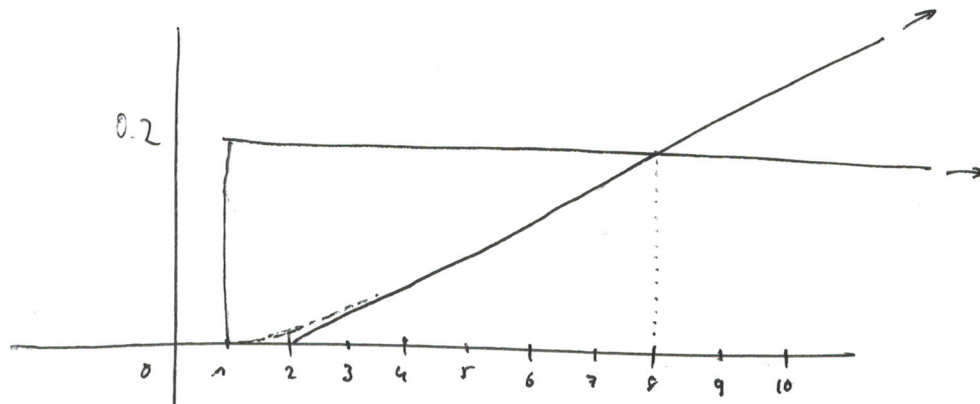
$$L(s) = P(s)PI(s) = K_c K_p \frac{e^{-sT_H}}{sT_I} \rightarrow K_c = \frac{T_I}{2K_p T_H}$$

3.7.2. Példa integráló folyamatra

$$P(s) = \frac{1}{sT_I(1+sT)} \quad T = 1 \quad T_I = 6$$

ehhez

$$PI(s) = K_c \frac{1+10s}{10s}$$



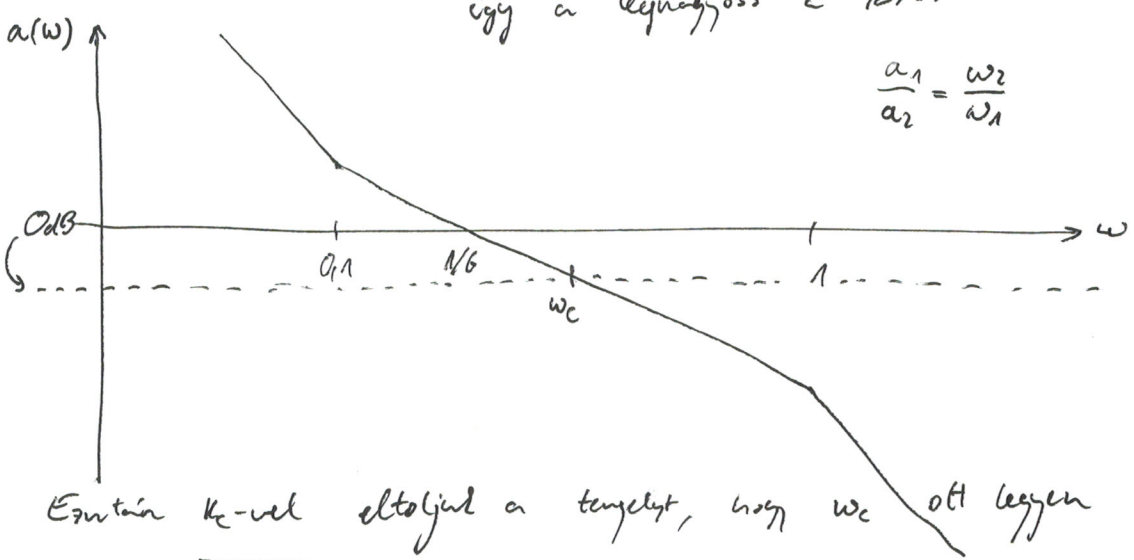
$\frac{1}{T_I} = \frac{1}{6}$ körfrekvencia egységnyi a_2 növelés

3.2. dia sor
stabilitásról
prop. azise

↳ A tel. törespontja $\frac{1}{T} = 1$

↳ PI törespontja $\frac{1}{10} = 0,1$ körfrekvencia egységnyi K_c -nél

↳ ω_c vég. körfrekvencia $-20 \frac{dB}{d}$ -os mered. körrepete
így a legnagyobb ω tartomány



$\frac{a_1}{a_2} = \frac{\omega_2}{\omega_1}$

Ezért K_c -vel eltoljuk a tengelyt, hogy ω_c ott legyen

$\omega_c = \sqrt{0,1 \cdot 1}$ (mért. körép)

úgy növelés $\frac{1}{6}$ -nál K_c , ω_c -nél 1

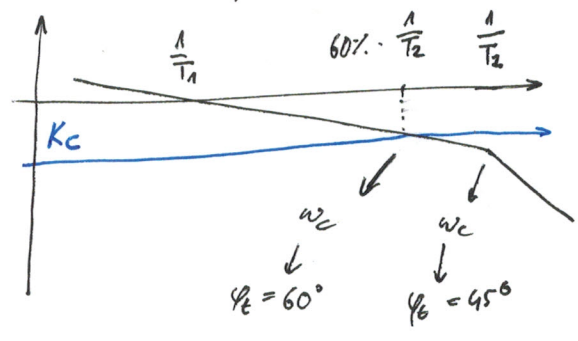
$\frac{\omega_c}{\frac{1}{6}} = \frac{K_c}{1} \rightarrow K_c = 6 \omega_c = 6 \sqrt{0,1} \approx 1,897$

3.7.3 Bode-diagram alapján történő típusú stabilitás ellen

Pl. PI hurok: $L = K_c \cdot PI \cdot P$

$P = \frac{1}{(1+sT_1)(1+sT_2)} \rightarrow PI = \frac{1+sT_1}{sT_1}$

innen: $\frac{K_c}{1} = \frac{0,6 \cdot \frac{1}{T_2}}{\frac{1}{T_1}}$



$K_{c60} = 0,6 \frac{T_1}{T_2}$

$K_{c45} = \frac{T_1}{T_2}$

$\frac{L}{1+L} = \frac{K_c}{T_1 T_2 s^2 + T_1 s + K_c}$

Aperiódikus esetben: $T_1^2 - 4 T_1 T_2 K_c = 0$

tehát $K_{cap} = 0,25 \frac{T_1}{T_2} \approx 0,4 K_{c60}$

Szessely - algoritmus

$$\downarrow u_k - u_{k-1} = b_0 e_k + b_1 e_{k-1} + b_2 e_{k-2} = \Delta u_k$$

Rekurzív pozíció algoritmus

$$u_k = u_{k-1} + b_0 e_k + b_1 e_{k-1} + b_2 e_{k-2}$$

Telítődés kezelése

$$\begin{aligned} \text{if } (u_k < u_{\min}) \quad & u_k = u_{\min}; \\ \text{if } (u_k > u_{\max}) \quad & u_k = u_{\max}; \end{aligned}$$

Integráló rekeszes PI

$$u_k = K_c \cdot e_k + K_i \cdot \sum_{j=0}^k e_j = K_c \cdot e_k + i_k \quad \left(K_i = K_c \cdot \frac{T_s}{T_I} \right)$$

$$e_k = r_k - y_k ;$$

$$i_k = i_k + K_i * e_k ;$$

$$v_k = K_c * e_k + i_k ;$$

$$\text{if } (v_k < u_{\min}) \quad u_k = u_{\min} ;$$

$$\text{else if } (u_{\max} < v_k) \quad u_k = u_{\max} ;$$

$$\text{else } \quad u_k = v_k ;$$

$$i_k = i_k + (u_k - v_k) ; \quad // \text{ integrátor visszaállítás}$$

FOXBORO PI szabályozó

$$\frac{f(z)}{u(z)} = \frac{(1-\beta)z^{-1}}{1-\beta z^{-1}}$$

$$\beta = e^{-\frac{T_s}{T_I}}$$

$$F(z) = \beta z^{-1} f(z) + u(z) \cdot (1-\beta) z^{-1}$$

$$e_k = r_k - y_k$$

$$u_k = K_c * e_k + f_k$$

$$\text{if } (u_k < u_{\min}) \quad u_k = u_{\min}$$

$$\text{if } (u_{\max} < u_k) \quad u_k = u_{\max}$$

$$f_k = \beta \cdot f_k + (1-\beta) * u_k$$

3.8. Szabályozók programozása

3.8.1. Folytonos idejű mod.

Folytonos PID

$$C(s) = k_c \left(1 + \frac{1}{sT_I} + sT_D \right)$$

$$C(z) = \frac{u(z)}{e(z)} = k_c \left(1 + \frac{T_s}{T_I(1-z^{-1})} + \frac{T_D}{T_s}(1-z^{-1}) \right) = \frac{b_0 + b_1 z^{-1} + b_2 z^{-2}}{1 + a_1 z^{-1}}$$

$$s \rightarrow \frac{1-z^{-1}}{T_s}$$

Sebesség:

$$u_k - u_{k-1} = b_0 e_k + b_1 e_{k-1} + b_2 e_{k-2} = \Delta u_k$$

pozíció: $u_k = u_{k+1} + b_0 e_k + b_1 e_{k-1} + b_2 e_{k-2}$

rekurzív pozíció algoritmus

integrális rész: PI

$$u_k = k_c e_k + k_i \sum_{j=0}^k e_j = k_c e_k + i_k \quad (k_i = k_c \cdot \frac{T_s}{T_I})$$

rekurzív alg

c) Foxboro -ban a visszacsatolás egytárolós tag SRE konkrét alakja

$$\frac{f(z)}{u(z)} = \frac{(1-\beta)z^{-1}}{1-\beta z^{-1}} \quad \text{ahol } \beta = e^{-\frac{T_s}{T_I}}$$

$$T_I \gg T_s \text{ esetén } e^x \approx 1 + x$$

rekurzív alg:

$$e_k = v_k - y_k$$

$$u_k = k_c \cdot e_k + f_k$$

$$u_k = \text{sat}(u_{\min}, u_k, u_{\max})$$

$$f_k = \beta \cdot f_k + (1-\beta) \cdot u_k$$

rekurzív, így a végén keresi az integrálódást

$$e_k = v_k - y_k$$

$$i_k = i_k + k_i \cdot e_k$$

$$v_k = k_c \cdot e_k + i_k$$

$$u_k = \text{sat}(u_{\min}, v_k, u_{\max})$$

$$i_k = i_k + (u_k - v_k) \cdot \tau$$

integrátor vissracélítás

3.8.2. Diszkrét idejű szabályozás

Ha a mintavétel frekvenciája közel van a végső frekvenciához \rightarrow DI szabályzó. ideális PID \rightarrow hűlítő PID: könnyebb lehet, nem két mintavételtől derivál

Rekurzív pozíció algoritmusmal működik

3.8.3. Lösszűrő indítás

Automata szabályozókhoz hirtelen milyen csappal nem változhat a kézi irányítójel. Induláskor kézi vezérlés változó értéke beállítható.

Robotokban nincs ilyen \rightarrow fehér duggyelke után a leggyorsabb szabályozás indul

Experiments
Springer

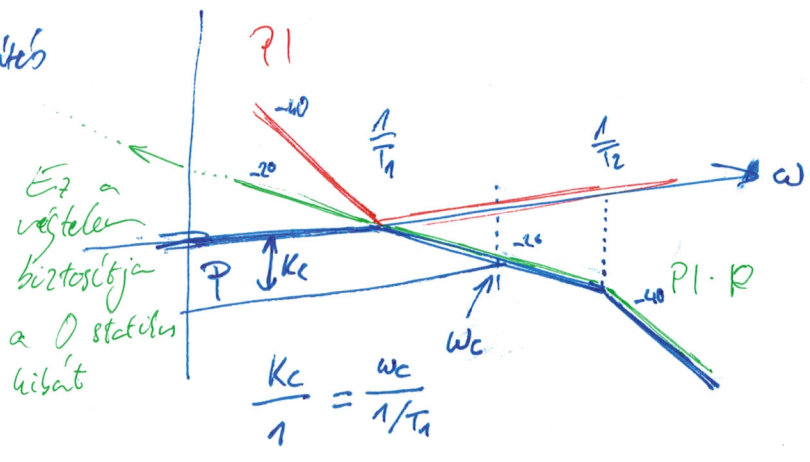
$\frac{1}{1 + sT_m + s^2 T_m T_v}$ motor str. időfű-c = $\frac{\omega(s)}{u_a(s)}$

$\rightarrow \approx \frac{1}{1 + sT_m}$ duva követés

$\rightarrow \frac{1}{(1 + sT_1)(1 + sT_2)}$
 $T_1 \approx T_m - T_v$ $T_2 \approx T_v$

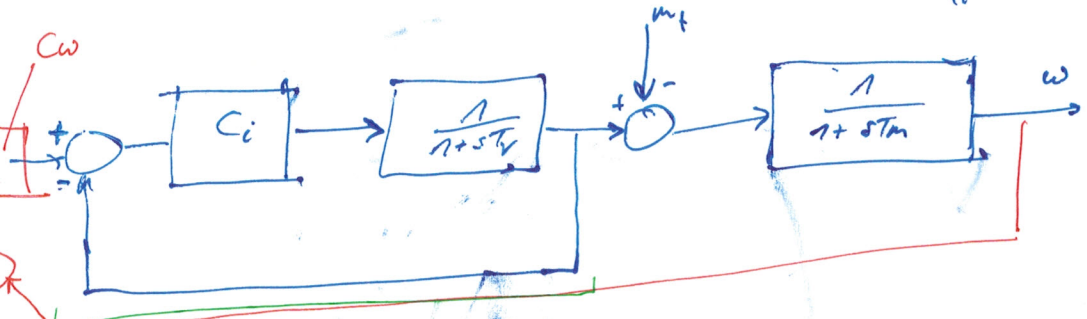
PI = $\frac{1 + sT_i}{sT_i}$

C = K_c · PI



$\omega_c = 0,6 \cdot \frac{1}{T_2} \rightarrow \varphi_t = 60^\circ$
 is 10% túllendülés

$0,25 \cdot \frac{1}{T_2} \rightarrow$ aperiodikus beállítás
 $\varphi_t \approx 70-80\%$



$C_I = K_{ci} \cdot PI = K_{ci} \cdot \frac{1 + sT_i}{sT_i}$; $T_i = T_v$

$C_I(s) = K_{ci} \frac{1 + sT_i}{sT_i} \cdot \frac{1}{1 + sT_v} = \frac{K_{ci}}{sT_v} \rightarrow W_{stat} = \frac{1}{1 + \frac{sT_v}{K_{ci}}}$

$P_I = \frac{1}{1 + sT_v}$

Rendel C_w külső mértékszám

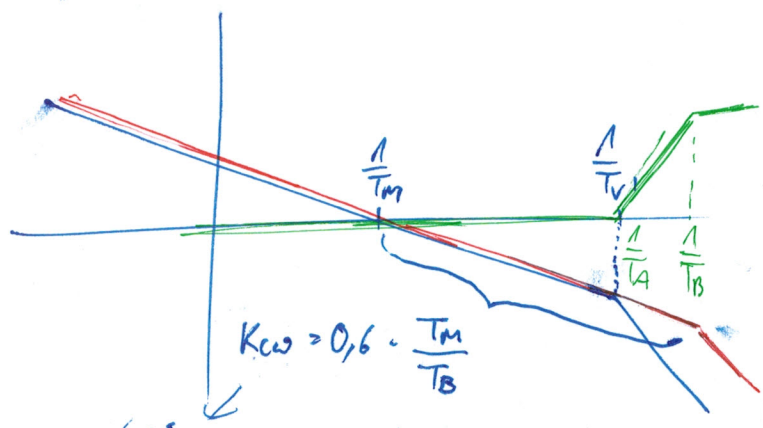
$P_w = \frac{1}{1 + sT_v} \cdot \frac{1}{sT_m}$

a) $C_w = K_{cw} \cdot PD$;

$PD = \frac{1 + sT_a}{1 + sT_b}$



$T_A = T_v$
 $T_B = \frac{T_v}{5}$ (1/5 tipikus)



aperiodikus beállítás

$\square \rightarrow \text{err} = 0$
 $\sloperight \rightarrow \text{err} \neq 0$

De az 1-es típusú szabályozónak a terhelő nyomaték az integráló hatás miatt lehet nagy, és nem $\omega \rightarrow$ maradék hiba lesz

↓
2-es típusú szabályozással megoldható

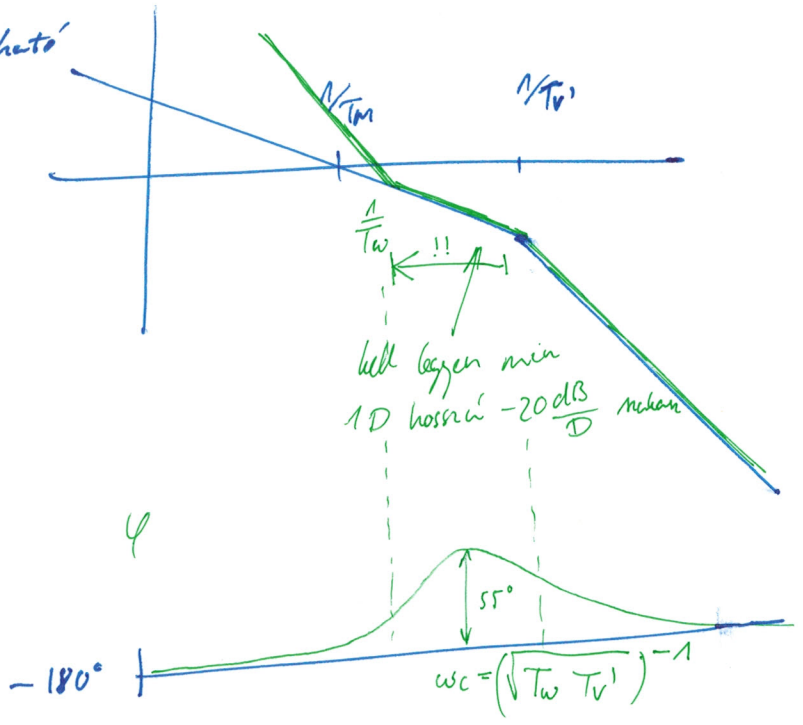
$C_w = K_{cso} \cdot PI$

$PI = \frac{1 + sT_w}{sT_w}$

\sloperight N_{T_w}

$T_w > T_v'$
 $T_w \approx T_v' \cdot 10$
 $\phi_m = 55^\circ$

$\square \quad \varepsilon = 0$
 $\sloperight \quad \varepsilon = 0$
 $\left\{ \begin{array}{l} \square \quad \varepsilon = 0 \\ \sloperight \quad \varepsilon \neq 0 \end{array} \right.$



Helyreigoh: - Lassú
 - Jövedelmük túllendül, ha csak nem lassítom le negyven-negyven
 sokkal integrálási idővel már nem praktikus

TDC integrátori algoritmus

4. ROBOTPROGRAMOZÁSI NYELVEK

4.1. A NOKIA-PUMA robot programozása

4.1.1. A programrendszer

ARPS advanced robot programming system

1. Programozási nyelv
compiler + interpreter
2. Operációs rendszer
real time
foreground vs
high prio → robot program
low prio → másik rendszert
 - program futtatás
 - kommunikáció
 - perifériakapcsolás
 - self-check
3. Editor
4. Debugger

Decentralizált működés miatt precíz irányítás
Pályák: pontokból időfüggés: sebességgel megadva

4.1.2. Az ARPS hardverrel

- Inkrementális
- Betárolás
pult/monitor parancs / Editor
- Program... círs
futtatás
kezdő / Pályák / végpontok
- Képernyős

Kiszámítás koordinátákban megtehető

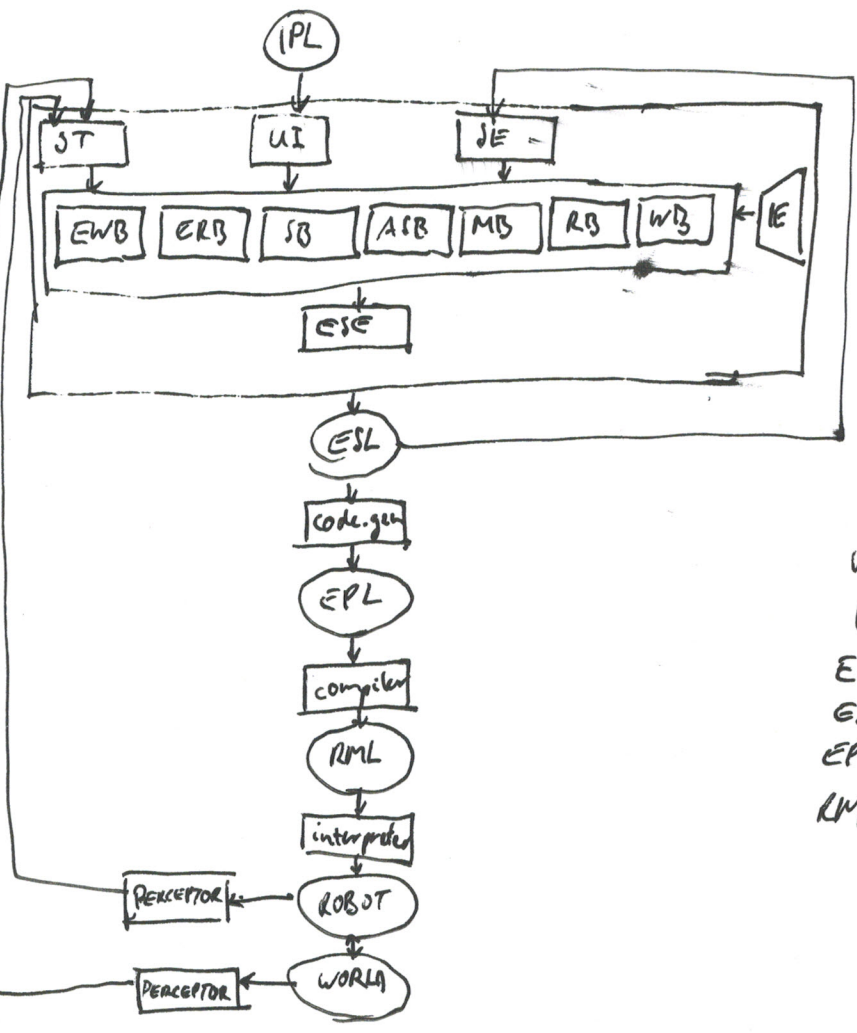
4.1.3. A programozási nyelv elemei

monitor program s. program utasítás argumentumok az előjelűk

- egész illendő vagy végtelen
- decimális illendő (# float)
- tárolásig
- stílus
- címindex
- digitális i/o
- sebesség

- programkezelés (EMA- / PISA...)
- BREAK, DISTIO, ...
- operátorok
- arit. / logi.
- színes
- címke
- pontok

4.1.4. Programozási feladat



- IPL implicit programming language
- UI user interface
- ST symbol transformer
- SE skeleton extractor
- EWB error world base
- ERB error robot base
- SB skeleton base
- ASB action sequence base
- MB motion base
- RB robot base
- WB world base
- IE inference engine
- ESE explicit solution extractor
- ESL explicit solution language
- EPL explicit programming language
- RML robot motion language

4.2. ARPS törlőfejlesztés

4.2.1. A fejlesztes szerepközpontjai

1. Szabad mozgás → direkt csatlósab.
Áramgenerátoros szervomotorok
Betöltés QNX fejléccsal
2. Szabad mozgás → intelligens algoritmusokkal
Jacobi és H inverziós számítással
3. $QNX4 \rightarrow QNX6$
4. Hétlomp. erő- és nyomaték érz.
5. Hibrid pozíció- és erőérz.
Csak a geometriát kell megadni

4.2.2. HARPS programrendszer

Eredeti utasítások

+ Erő-nyomatékérzékelés utasítások

↳ Alkalmazol hibrid irányításra

Hibrid erőérz. utasítások

Korlatokabsztrakciókat frissítő utasítások

Erő/nyomatékbeadások

Hibrid koordin. rse. és tanm. korl. meghatározású utasítások

4.3. Robotprogramozási nyelvvel sztatikus

On-line

- + korlátok egyenre megadhatók
- + egyenre korlátozás
- termelési hibák

Off-line

- + nincs termelési hiba
- komoly SW támogatás kell
- korlátok bevitelére utalás

Pályamegadás szerint

- Explicit → betüntetés/útvonal (ARPS)
- Implicit → alkatrészmodell, pályadef

Explicit ontológiák

USA

1. HW/MCU mint ASM, C
opc RTOS
lehető legyen minden ok, ha nem kell átprogramozni
2. Pont-pont ir. szint
csatlakozókban minden Egyetlen nyelv
3. Egyetlen megismerhető
Vibrációs koordinátákban Pályatervezés
Ugrás, manipuláció → programozható.
opc. frame koncepció
opc. párhuzamosítások
4. Strukturált programozás
strukturál, adathírszóró
keretek, koordin. transz.
útszó értelmezés (kódi)
Path.
Mémóriáinak megnevezése
5. Feladatorientált mint
Dinamikus utasításmodell
Összetett csatlakozók (kódolva.)
Bonyolult megnevezési ok
Implicit nyelv

EU

1. Csatlakozó mint (USA-2) JOINT
2. Robotkar (USA-3 - USA-4)
MANIPULATOR
3. Munkadarab. OBJECT
Offline prog. megvalósítás
↳ lehetővé teszi prog. generálását
4. Feladat. TASK (USA-5)
Robot megnevezése a tárgyát
Bonyolult megnevezési rendszer

4.4. Fejlődés irányai

Explicit nyelvvel egyszerűsítés

SRK structured robot lang - hirtelen.
RODATA - hirtelen függő if-ekhez illeszt

implicit progr.

5. MELFA (X)

6. MOBIL ROBOTOK

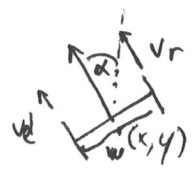
6.1. Mobil robotok osztályozása

- Levegő UAV / űronda
- Víz AUV
- Stacionáris
 - Kerék
 - Sín
 - Ferő

6.1.1. Kerekes mozgó robotok mobilitása

Holonom → bármely mozgókültség ritkább, drágább mecha
 Anholonom pl. autó

Pl. differenciális hajtás



$$v = \frac{v_l + v_r}{2}$$

$$\omega = \frac{v_r - v_l}{w}$$

$$\begin{bmatrix} \dot{x} \\ \dot{y} \\ \dot{\varphi} \end{bmatrix} = \begin{bmatrix} v \cos \varphi \\ v \sin \varphi \\ \omega \end{bmatrix}$$

2 szabadsági f. d.

egyenletrendszer v. bolygókerék

négykerékű

akárcsak a kerék: körös körponton körül forog mind a 4 kerék

Szintesen hajtás

mechanikus vagy villás elektronika után beírható = csúcsmobilitás

Jobb manőverező képesség

MDOF

Teljeskörűen szabadságfokok

Egymetlen tempó = egy jobb a többi lény. felhagyatékán egyenként forgatott kerék

6.1.2. Járó robotok

Beépített egyensúlyozó org.-ül lehet

Legbonyolultabb: kékváltóztatás

↓ Allatvilágból legunalmasabb ötleteket

6.1.3. Moduláris robotok

SR: self reconfiguration

Modulok: mechanikus funkciók és információfeldolgozás

Robot vagy létezőműködés képesül

↓ Jobb rekonfigurálhatóság

↓ Jobbban generálhat mozgást

6.2. Mobil robotok fejthorodása

Mol? }
 Hova? } 3 fő kérdés
 Hogyan? }

Relatív pozícionálás

- deduced reckoning → dead-reckoning: korábbi ismeret helyzetből következtetés
- odometria: kerékek elmozdulása
- inerciális: kettős integrálás gyorsulásból, gíromból
 néhány a mérési hibák

Abszolút pozícionálás

- aktív jelölőegység (beacon)
 beérkező 2/3 + jel irányból
 fény/hang/rádió
- mesterséges tereptárgyak felismerése
 itt is 3+ kell
 komolyabb minőségű
- természetes tereptárgyak
 kb. mint az előző
 ismeret kell a környezettel előre
- modell-felismerés
 szenzorral adatszűrés
 adatok környezeti modellre illesztés

6.2.1. Odometria

Ált inkr. adó (vagy néha kódadó)

k_i : adó és megtett út faktora

D_i : kerékháttere

C_{enc} : enkóder inkr./ford

$N_{áttét}$: áttét enkóder és kaptárhálózati közp.

$$k = \frac{D \cdot \pi}{N_{áttét} \cdot C_{enc}}$$

$$\Delta S_{e/r} = k \cdot N_{l/r,i}$$

megtett útak l/r kerékre

$$\Delta S_i = \frac{\Delta S_e + \Delta S_r}{2}$$

robot kaptárhálózati pontján által megtett út

$$\Delta \varphi_i = \frac{\Delta S_r - \Delta S_e}{w}$$

orientáció vektorok

$\varphi_i = \varphi_{i-1} + \Delta\varphi_i$ orientáció

$x_i = x_{i-1} + \Delta s_i \cdot \cos \varphi_i$

$y_i = y_{i-1} + \Delta s_i \cdot \sin \varphi_i$

Közelítés: előbb fordul, aztán megy

Közelítés: félfordulat, megy, másodikfordulat

$\varphi_i' = \varphi_{i-1} + \Delta\varphi_i \cdot \frac{1}{2}$

$x_i = x_{i-1} + \Delta s_i \cdot \cos \varphi_i'$

$y_i = y_{i-1} + \Delta s_i \cdot \sin \varphi_i'$

$\varphi_i = \varphi_i' + \frac{\Delta\varphi_i}{2}$

Feltételezés (g) is: elfordulás megtett útka transformálható
hessz

De hibák

Szintencéltikus

- más hűvelőtorok
- nem vételező hűvelőtorok
- nem vételező hűvelőtorok
- nem vételező hűvelőtorok
- véges arányfelosztás
- csúszás mintavételkor

kalibrációval csökkenthető hiba

Nem mintencéltikus

- Túl nagy szögeltérés
- kisméretű csúszás
- kevés érintési pontjának bizonytalansága

Wahlmark hibadefiníciók

$E_d = \frac{D_r}{D_l}$

$E_w = \frac{W_{act}}{W_{nom}}$

Kalibráció: meg kell mérni a robotnál bejárt út

6.2.2. Odometria optikai szenzorokkal

Talajjellemzőkkel való mérés

Ha az előző módszer túl pontatlan lenne

6.2.3. Inerciális helymeghatározás

Gyorsítóp → növekedés

Gyorsulásérzékelő

↳ Felületi ultrahangos elmozdulás kapcsolt érzékelő

↳ Piezoresztor érzékelő

Hidban feltüntetett tömeg
hid ellenállásainak mérték

Gyorsítóp

nagyobb tömeg, fordulatlan → jobb iránytartás

- elektromechanikus

- optikai/levegő gyorsítóp

- fiber optic: férszélesség $\Delta\varphi$

- ring laser: hullámhossz $\Delta\lambda$

forrás érték $\Delta\varphi$ vagy $\Delta\lambda$ arányos = forrás gyorsulásával

előny: időmérésre visszaverhető

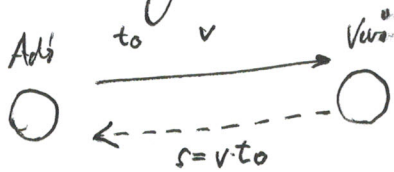
ért tudjuk a legpontosabban

- MEMS vibrációs: coriolis erőt méri

IMU inertial measurement unit

Teljes gyorsítóp + gyorsulásérzékelő egység

6.2.4. Az ultrahangos távolságmérés elve



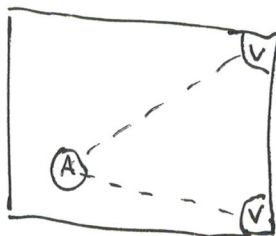
Trilateráció vagy trianguláció

Hangsebesség hőmérsékletfüggő → mérni kell

Hiba a mérési területen egyenletlen

Rádióval jelzés adatai kerületét

↳ Pontos távolságmérés (1-2 cm)



6.2.5 GPS és DGPS

Régius doppler-efektuson alapult
 Gyors jönniükben nem volt jó
 NAVSTAR GPS (USA) az egyetlen teljes ilyen rendszer
 GLONASS (RU)
 Galileo (EU)

Többi rendszerrel vannak
 önkéntes kölcsönös (Kína, India)
 GPS pontosságát növelők

Ködművelhető jel két frekvencián
 Időszinkronizációk len lehetnének

↳ Társulmányos rádióhullámterjedési sebesség alapján
 Lokális óra elcsúszása miatt még egy jel szükséges
 $\Delta t = [tevérség + delta]$ alapján pozíció meghatározható

P: precision → titkos
 C/A: coarse acquisition → nyitott

Vétel

Ködművelés:
 Szűk időállítást hiddal kiszámítja össze a vett jelet
 Több 10 m pontosság Bitidő: időmérés kvantuma
 Legtöbb esetben ilyen

Fázismérés
 Vörös fázisa vs. lokális időállítást jel fázisa
 Alak mm pontosságú

D-csatorna: $5 \cdot 300 \text{ bit} / 50 \text{ bit} = 30s$
 Műhold ábrapontok paraméterei
 Duna pályaadatok (almanach) helyre-ke helyre
 Fedélzeti pályaadatok (broadcast ephemeris) ^{becsolt}
 Ionoszférikus modell paraméterei
 Műholdállapot

$$\Delta t' = \Delta t + \delta = \Delta t + \delta_{sat} - \delta_{recv}$$

$$D_i = c \cdot \Delta t' = d_i + c \cdot \delta = d_i + c \cdot (\delta_{sat} - \delta_{recv})$$

$$D_i = \sqrt{(x-x_i)^2 + (y-y_i)^2 + (z-z_i)^2} + c(\delta_{sat} - \delta_{recv})$$

d_i : valódi távolság

DGPS: differenciális: kis térségben az konstans hibákat mérhetőek a műholdtávolságok. Alkó ismert helyzetű vevővel ez mérhető.

Eredetileg kintő DGPS hidaknál

↳ Edigi rendszerrel képest veltő idejű

Komplexív szabványok

mobilteléfono hálózat

kereskedelmi rádió RDS szórófr.-in

Társasági műsorok → Inmarsat

Spec. rádióadó

Több referenciaponttal javítható a rendszer

Korrekciók

Műhold pályaadatok 15 min refresh

1-2 min

broadcast

Regionális atomórákmodell 60 más refresh

1-2 min

b/c

8 param

Egyes műholdak órajavitó param.

~1 sec

b/c

↳ SA (civil pontatlanság) miatt

Végül 0,5-2 m pontosságot ad hidamérésnél

(SA korlátok 2000-ig 50-200 m pontosságot adott.)

Fázismérés is lehetséges két GPS-vel (egyik fix) alkalmasan

Relatív helymeghatározás

Ég használható ki jól a fázisméréssel nyert pontosság

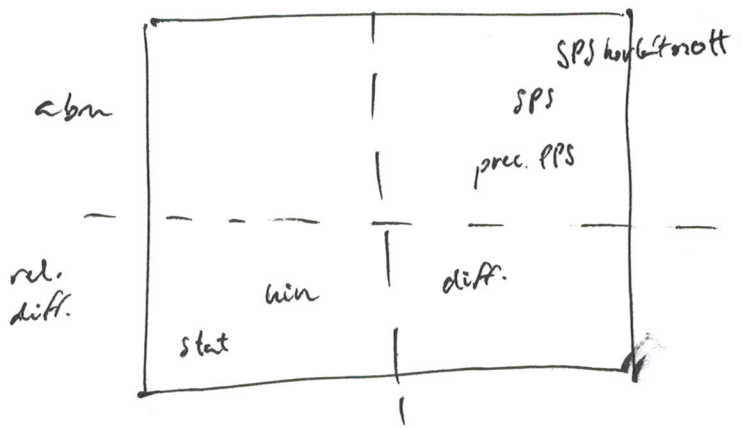
Statikus abszolút pontosság: 5-10 m (hosszú)

Kinematikus abszolút 10-100 m

Statikus relatív 0,1-1 ppm néhány mm / néhány km (kinematikus is pár cm)

Fázismérés!
Geodetika

Fázis | hid



6.3 Mobil robotok navigációja akadályok között

Alapfeladatok

- Lokalizáció (Hol?)
- Célmegcézés (Hova?)
- Térképezés (Hol van akadály?)
- Mozgástervezés (Mogyn? Mire?)
- Mozgásvezérlés (Szabályozás)

Autonóm mobil robot: több feladatot kap meg a feladatok közül

0. Mozgástervezés. Nem autonóm.

1. Autonóm mozgástervezés. Mozgásvezérlés

2. Autonóm térképezés. Akadályok és környezetváltozathoz.
Önvetés jóműködés célja ezt elérni

3. Teljes autonómia. Mozgást minden körülményre a feladatok

Mozgástervezés:

Algoritmtörténet - Felbontható

- Pályatervezés → geometriai pályák

- Lejárat-tervezés (pályageometria és robot dinamikus tulajdonságai)

6.3.1. Konfiguráció tér

Kinematikus megvezetés: Számított megvalósítható robot

Állapot: pozíció és orientáció, de nem erővel a deriváltjai

Számos mozgó robotnál (ami merev test)

de a poz. + ori.

Robothozóknál ez több konfigurációt is jelenthet és nem mindegy, melyik

n -dimenziós vektor egyértelműen jellemzi a helyzetet
(pl. síkban 3)

Környezet és egyenlet a térben leírható

Start

Cél

Ütközésben lévő/nem megengedett konfigurációk

Könnyebbég: a robot egyetlen pont a térben.

6.3.2. Mőgestervezési mődmővel osztályozása

Kategorizálás

Konfigurációs tér dimenziószámra, 2, 3, 3+

Konfigurációt akadályoktól kőnyoltsága miatt (szőnyeg, tartóli edes, tetőrőkes)

Robot elője (pontmozgás, tetőrőkes)

Robot kinematika (holonómikus v. nem)

Lochalitás (lochalitás, globális)

Globális pályatervezés

Ismeret környezetterkep

Tervezés/vegyelkítés időben elhőntőnő

Tervezés teljes konfigurációs térben

Alt. offline alkalmasra

Nem vőrt kőndőly alt. teljes újratesterest igényel

↳ Előöl elhőntőre a megoldás garantálható

Lochalitás

Reaktív / "obstacle avoidance"

Működés: érzékelés és gyors reakció

Nem igényel térképet

Tervezés + végelkítés

Nem vőrt változásokra tud reagálni vőgy ismeretlen környezetet kezel

Online

Teles navigáció általában csőtken nem alkalmas

Egyszerű robotusdellé alt., egyenesítési a teljes konfigurációs térben.

6.3.3. Pályatervezési mődmővel

Konfigurációs térrel gráfba leperci le

Crucial: pontok él: A dimenzió utal

Gráfban keresés

- Egyszerű mődmővel: teljes pályamodell kell, de mindig ad megoldást
- Mintavetelés: elég közelítő modell, de az hiba nem elég
sűrűs vőrttel javítható, de nem biztos hogy optimalis
Nem is tudja, hogy van-e még jobb megoldás

6.3.3.1 Lethatósági graf

Graf akadályok geometriai modellje alapján
Akadályok körültekintése során

Csúcspont: sornyegek csúcsai

Élek: lethatósági élek, hosszal súlyozva

Hajypontosság grafon belüli útkeresés algoritmus pl Dijkstra

Akadályokat kerülve → előzetes akadálybontás

Túl sok él → redukálás

szel reflex csúcsok nézvéne (belső szög < 180°)

Élek: azonos sornyegek normális reflex csúcspontjai felé
különböző sornyegek reflex csúcspontjai közt, ha az
él egyenesen nem metoni egyik sornyeget se (bitangenciális élek)

Er bizonyíthatóan sok fals éleket hagy el

6.3.3.2 Cella-dekompozíció

Szabad térben koncentráció

Konfigurációk tereit teljesen szabad/telepben foglalt cellákra bontja

Cellakonfiguráció alapján topológiai grafot ad

1. Kerés is cellakonfigurációt cellákhoz kell rendelni
2. Topológiai grafon útkeresés
3. Útlelérés cellákról valószínűleg
pl. csúcspontok összekötése

2D-ben:

Vastékú celladekompozíció

Feltételezés: akadályok határvonalai sornyegek

Csúcspontoktól független határvonal az első akadályig fel és le is

Konvex trapézokra osztott a terület

Vannak isd főleg a cella felszintében különbségek

6.3.3.3 Rapidly exploring dense trees

Előző kettő teljes pontos modellt igényelt
Ez nem, de mindig nem garantál véges idő alatt megoldást
Mintavétel

1. Vagyunk kb egyenletes mintákat
2. Próbáljuk a véletlen konfigurációt a lehető legtöbb összeköttetésig vagy több lokális pályával (által lin. interpod. → egyenes vonal) és itt nem kell az akadályokat figyelni a vonal
3. Most vizsgáljuk a megoldást. Ha egy pontja ütközik, eldobjuk

RRT:

Kicsitlag fa struktúrájú gráfot épít
Áll. egyenletes eloszlású véletlen mintákkal → rap. expl. random. tree.
RRT

1. Mintákat → ~~queue~~
2. Csomópont választás: a gráfban lévőből a legközelebbi op. éllel belső pontjait is visszaválasztja
→ queue
3. Lokális pályával összekötés. Ha ütközésmentes, hozzáadjuk a gráfot
queue (← queue) ponttal (éllel).
Ha ütközik, akkor az utolsó ütközésmentes pontig terjedtük ki.

Variáns: két fa startból/célból növekedve felismerés, ha összeköt!

Sampling bias: néha véletlen minta helyett kiválaszt a cellt nézzük
Új befutások csak új eredményt.

Hosszabb futás csak jobb eredményt

De általában elég gyors
Bármilyen hosszú térben jó!

6.3.4. Akadályelhárítási módszerek

- Értékelési/bevételre való peridumelés
- Előzetes mérés < értékelési tévolság
- Bevetésről jól irányítottan és a cél felé.

6.3.4.1. Virtuális erők

VFF virtual force field

akadályt elmozdít
cél: vonz

Erővel egy olyan hirtogramra van

Szenzorok által lejegyzett a mozgás

Foglaltat valósághűvé

Az erők lokális "aktív" alakúak, ami azt jelenti, hogy

Tartomány minden részpontra külön erők ismertetése ($\sim \frac{1}{r^3}$)

Vonzóerő a cél felé ($\sim \frac{1}{r}$)

gyors és biztonságos, de

- Lokális minimumok csapda
- Késleltetés akadályok köré nem megy
- Diszkontinuitás helyeken folytonos

} • potenciálműködés, nem
• impl.-független

6.3.4.2. Vektormező hirtogram

VFA virtual field histogram

Előző hirtogramai analízisek

Teljeskörű adatok

Kétféle módon redukál

Környezet körébe egyenletes hirtogrammal és aktív alakúak

1. Egydimenziós poláris hirtogramokat képez (poláris akadálysűrűség)
2. Ez alapján vékonyt irányít

$$\beta_{ij} = a \tan^2(\gamma_j - \gamma_0, x_i - x_0) \quad m_{ij} = c_{ij}^2 (a - b \cdot d_{ij})$$

nőg
vekt. megg.
Foglalt.
távolság

3. Adott mozgásterületre ismertetés lineárisan alakban a távolsággal
 $a - b \cdot d_{max} = 0$

Esélyes változás is változás helytelenül → kényszerítés

Erővel dönt, hogy mennyire van a cél.

Döntés, szükséges lehet plusz körítés a terület alapján

Kétféle módon, de ez is lehet tudni

6.3.4.3. Dinamikus ablak módszer

Sebességet terében fejérelés az irányítását a
 Szorosított állapotok

Először a robot dinamika-jét nem vette figyelembe
 DWA dynamic window approach

$$\begin{aligned} \dot{x}(t) &= \cos(\varphi(t)) v(t) \\ \dot{y}(t) &= \sin(\varphi(t)) v(t) \\ \dot{\varphi}(t) &= \omega(t) \end{aligned}$$

Eredetileg nem holonomikus manőver bejtésű robotra
 Robot pályájá egy körív darabokkal leírható

az azek meghatározása, ekkor v_k, ω_k sebességeket

Ezek terében ← vezet be dinamikus ablakot
 Ezen belül keres ütközésmentes megoldást
 és minőség szerint megjelölést

- Optimalizálás a függvények
- Hatalmas a cél irányába
 - Távolodás akadályoktól
 - Nagy sebesség